

وزارة التعليم العالي والبحث العلمي

جامعة كربلاء

كلية الإدارة والاقتصاد

قسم الإحصاء



## تَقْدِيرَات دَالَّة المَعْوَلِيَّة لِتَوْزِيع بُوَاسُون

مع تطبيق عملي

رسالة مقدمة الى  
مجلس كلية الإدارة والاقتصاد في جامعة كربلاء  
وهي جزء من متطلبات نيل درجة ماجستير  
علوم في الإحصاء

من قبل

زَيْنَبُ مُحَمَّدَ باقِرُ صادقُ الباقِرِ

بإشراف

الأستاذ الدكتور

عَبْد الحُسَيْنِ حَسَنُ حَبِيب الطائِي

2017 م

1438 هـ



قَالُوا

سُبْحَانَكَ لَا عِلْمَ لَنَا إِلَّا مَا عَلَّمْتَنَا

إِنَّكَ أَنْتَ

الْعَلِيمُ الْحَكِيمُ

صَدَقَ اللَّهُ الْعَلِيُّ الْعَظِيمُ

(البقرة 32)

# الإهداء

إلى حبيب رب العالمين وأحباء قلوبنا  
... حَمْدُ المصطفى وآل بيته الطيبين الطاهرين صلوات الله عليهم  
إلى التي جعلَ اللهُ سبحانه وتعالى الجنةَ تحت أقدامها  
... إلى روح أبي الحنون.  
إلى من زرع الأمل في طريقي ز المحبة والعطاء  
... إلى روح والذي الحبيب.  
إلى التي تركت في القلب لوعة وفي العين عمة  
... إلى روح التي روى.  
إلى الطائر الذي ينتظر لحاقي  
... إلى روح إني علي.  
إلى رفيق درب ظلي وسندي في الشدة والرّخاء  
... زوجي العزيز.  
إلى من وهبوني حبهم ورعايتهم  
... أخواتي وأخوتي.  
إلى الشموع التي أضاءت لي طريق العلم  
... أساتذتي.

أهدي ثمرة جهدي هذا

الباحثة

## شُكْر وإِمتنان

الحمدُ لله الذي علا في توحيده ودنا في تفرده، وجلّ في سلطانه، وعظّم في أركانه وأحاط بكل شيءٍ علماً وهو في مكانه، وقهر جميع الخلق بقدرته وبرهانه، مجيداً لم يزل محموداً، جبار السموات والأرضين، سُبُوخُ قُدُوسِ رَبِّ الملائكةِ والرُّوحِ، والصلاة والسلام على البشير النذير الهادي الأمين وآله الطيبين الطاهرين وصحبه المنتجبين.

بعد الحمد والشكر للعلّيّ القدير الذي وفقني لإنجاز هذه الرسالة، أتقدّم بخالص شكري وعظيم إمتناني إلى الأستاذ الدكتور **عبد الحسين حسن الطائي** الذي تفضل بالإشراف على رسالتي لما أبداه من ملاحظات قيّمة في إعداد هذه الرسالة، فأسأل الله له الخير والتوفيق.

وأتقدم بوافر الشكر والتقدير والإمتنان إلى السادة رئيس وأعضاء لجنة المناقشة المحترمين لتفضلهم بقبول مناقشة هذه الرسالة متمنية أن تنال استحسانهم ورضاهم.

كما أقدّم عظيم شكري وإمتناني لأستاذي الوالد والمربي الفاضل عميد كلية الإدارة والإقتصاد الأستاذ الدكتور **عوّاد كاظم الخالدي**.

وأتوجه بجزيل الشكر والإمتنان والوفاء الكبير والعرفان بالجميل لمن طوّقتي بجميله الأستاذ **فراس منذر جاسم** التدريسي في الجامعة المستنصرية جزاه الله عني خير الجزاء.

ومن واجب العرفان بالجميل أتقدم بوافر الشكر والإمتنان الى ينبوع العلم والمعرفة (أساتذتنا في قسم الاحصاء) فضلاً عن المنتسبين جميعاً ممّن أسدى لي معروفاً، وفقهم الله إلى كل خير.

ولا يفوتني أن أسجل شكري وتقديري وإمتناني لزملائي في الدراسة لتعاونهم طوال مدّة الدراسة، وأسأل الله لهم التوفيق.

ويلزمني واجب الإعتراف بالجميل أن أسجل فائق شكري وتقديري إلى الأخت العزيزة **هند صبيح عبد الغني** الموظفة في الجهاز المركزي للإحصاء التي لم تبخل عليّ بمد يد العون.

وأخيراً أقدم شكري الخالص إلى كلّ من ساهم بجهدي في تمهيد الطريق لإنجاز هذه الرسالة ولم أتمكن من ذكرهم في هذه السطور القليلة وأسأل الله سبحانه وتعالى أن يجزي الجميع عني خير الجزاء.

زَيْنَبُ

## المستخلص

إن التطور التكنولوجي وإستخدام الأنظمة الألكترونية المعقدة في مختلف المجالات قاد الكثير من الباحثين إلى الإهتمام بدراسة المُعَوَّلِيَّة، وعليه فإن دراسة موضوع المُعَوَّلِيَّة والربط بين الجانبين النظري والتطبيقي أمر له من الأهمية الكبيرة لأنه يُعد المؤشر لبيان مدى كفاءة وقدرة الماكنة على العمل من دون أعطال لمدة زمنية طويلة لغرض زيادة الانتاج نوعاً وكماً.

ولما كانت عدد مرات الفشل تخضع لتوزيع بواسون فقد ركزت الدراسة في جانبها الأكبر على دراسة عمليات بواسون بنوعها المتجانسة (*HPP*) وغير المتجانسة (*NHPP*) وقد تم تأشير وجود إتجاه عام في عدد مرات الفشل مقابل الزمن  $t$  فكان من المناسب تحليل البيانات بإستخدام إنحدار بواسون.

لقد إهتم هذا البحث بتقدير دالة المُعَوَّلِيَّة في حالة بيانات تتوزع توزيع بواسوني وذلك بالمقارنة بين أربع طرائق من طرائق التقدير وهي طريقة إنحدار بواسون كطريقة إنحدار، وطريقة الإمكان الأعظم كطريقة تقليدية، وطريقة التقلص كطريقة بيزية، وطريقة كابلن - مير كطريقة لامعلمية.

ولغرض تطبيق الأبعاد النظرية لطرائق التقدير، فقد تم توظيف أسلوب محاكاة مونت كارلو (*Monte Carlo method*) وإستخدام برنامج بلغة (*R 3.3.2*) وبإجراء عدة تجارب وذلك بتوليد عينة عشوائية ذات توزيع بواسوني بالإعتماد على حجوم عينة مساوية الى ( $n = 10, 20, 30, 40, 50, 100$ ) وكانت مكررات كل تجربة هي  $L=5000$ .

وتمت المقارنة بين طرائق التقدير بإستخدام متوسط مربعات الخطأ (*Mean Squares Error*) وتم التوصل وبشكل عام إلى أن مقدر التقلص هو الأفضل من بين هذه المقدرات في حال توفر بيانات أولية لإمتلاكه أقل متوسط مربعات خطأ مقارنة بالمقدرات الأخرى، أي أن تقدير دالة المُعَوَّلِيَّة لبيانات تتوزع توزيع بواسون بطريقة التقلص هي الأفضل في حالة توفر بيانات أولية ولجميع حجوم العينات، يليه مباشرة طريقة الإمكان الأعظم ولجميع حجوم العينات.

أما فيما يخص الجانب التطبيقي فقد تم أولاً إجراء إختبار مربع كاي (*Chi - Square*) على البيانات المتاحة التي تمثل أوقات الفشل لبعض المكائن في دار الوارث للطباعة والنشر في كربلاء المقدسة بإستخدام البرنامج الإحصائي (*Easy fit*) وتبين أن أوقات الفشل هذه تتوزع توزيع بواسوني وأنها تتبع عمليات بواسون غير المتجانسة، ولعدم توفر بيانات أولية بسبب حداثة المنشأة ولكون مقدر الإمكان الأعظم لدالة المُعَوَّلِيَّة هو ثاني أفضل هذه المقدرات بعد مقدر التقلص حسب ما جاء بالجانب التجريبي في هذا البحث فقد تم حساب هذا المقدر لهذه المكائن قيد الدراسة لغرض التعرف على كفاءتها وسلوكها مع الزمن ، كما تم حساب دالة المُعَوَّلِيَّة بطريقة القياس بالإعتماد على متوسط الوقت بين فشل وآخر.

## ***Abstract***

*The technological development and the use of complex electronic systems in various fields led many researchers to study the Reliability. Therefore, the study of the Reliability and linkage between the theoretical and practical aspects is of great importance because it is the indicator to show the efficiency and ability of the machine to work without breaks for a period of time Long for the purpose of increasing production of both quality and quantity.*

*Since the number of failures is subject to the distribution of Poisson, the study focused more on the study of the Poisson processes by two types the homogeneous(HPP) and non-homogeneous (NHPP), and the absence of a general trend in the number of failures vs. time  $t$  It was appropriate to analyze data using the Poisson regression.*

*This study was concerned with estimating the reliability function in the case of data distributed of Poisson distribution in comparison to three methods of estimation methods, namely the Poisson regression method as a regression method, and the Maximum Likelihood method as a traditional method, and Kaplan-Meier method as a method of nonparametric.*

*For the purpose of applying the theoretical dimensions of the estimation methods, the Monte Carlo method was used using a programming language R (version 3.3.2), and several experiments were carried out by producing a random sample with a Poisson distribution based on sample sizes equal to ( $n = 10, 20, 30, 40, 50, 100$ ). The replicates for each experiment were  $L = 5000$ .*

*The estimation methods were compared by using Mean Squares Error and were reached with generally concluded that the maximum Likelihood estimator was the best of these estimates because it had the lowest mean error squares compared to other capabilities, it means, the reliability estimation of the data distributed by the Poisson distribution the maximum Likelihood method is best for all sample sizes, followed directly by the Poisson regression method and for all sample sizes.*

*As for the practical side has made Chi Square test was first on available data that represent the number of failures of some of the machines in Dar Al- Warith for printing and publishing in the holy city of Karbala using a statistical program (Easy fit) shows that the number of failures are distributed (Poisson distribution), and they trace non homogenous poison processes, and because the Maximum Likelihood for the reliability function is the best of these capabilities after an estimated contraction according to a pilot aspect in this research has been the estimated these machines account under study for the purpose of identifying efficiency and behavior with time, as a function account reliability way to measure based on the Mean Time Between Failures (MTBF).*

## فهرست المحتويات

رقم الصفحة	الموضوع
5-1	<b>الفصل الأول : منهجية البحث وبعض الدراسات السابقة</b>
1	المقدمة 1-1
2	هدف البحث 2-1
5-2	الإستعراض المرجعي 3-1
40-6	<b>الفصل الثاني : الجانب النظري</b>
7-6	المُعَوَّلِيَّة 1-2
8-7	دالة المُعَوَّلِيَّة 2-2
9	الدوال المرتبطة بالمُعَوَّلِيَّة 3-2
10-9	دالة الكثافة للفشل 1-3-2
13-10	دالة توزيع الفشل 2-3-2
17-13	دالة الخطورة 3-3-2
19-17	دالة الخطورة التجميعية 4-3-2
20	دالة متوسط معدل الفشل 5-3-2
20	قياس المُعَوَّلِيَّة 4-2
21-20	متوسط الوقت بين فشل واخر 1-4-2
21	متوسط الوقت للإصلاح 2-4-2
24-21	متوسط الوقت للفشل 3-4-2
25-24	الإتاحة 4-4-2
26	التوزيعات الإحصائية 5-2
26	التوزيعات المستمرة 1-5-2
26	التوزيعات المتقطعة 2-5-2
28-27	توزيع بواسون 6-2
31-28	عمليات بواسون 7-2
32-31	عمليات بواسون المتجانسة 1-7-2
33-32	عمليات بواسون غير المتجانسة 2-7-2
34	تقدير معلمة ودالة المُعَوَّلِيَّة لتوزيع بواسون 8-2
35-34	تقدير دالة المُعَوَّلِيَّة بإستخدام طريقة إنحدار بواسون 1-8-2
37-36	طريقة الإمكان الأعظم 2-8-2
39-37	طريقة التقصص 3-8-2
39	طريقة كابلن - مير 4-8-2
39	أسلوب كابلن- مير الأول 1-4-8-2

رقم الصفحة	الموضوع	
40-39	أسلوب كابلن- مير الثاني	2-4-8-2
54-41	<b>الفصل الثالث : الجانب التجريبي</b>	
41	تمهيد	1-3
42-41	المحاكاة	2-3
44-42	وصف مراحل تجربة المحاكاة	1-2-3
53-44	نتائج المحاكاة	2-2-3
54-53	مناقشة تجارب المحاكاة	3-2-3
62-55	<b>الفصل الرابع : الجانب التطبيقي</b>	
55	تمهيد	1-4
56	دار الوارث للطباعة والنشر	2-4
59-56	وصف البيانات	1-2-4
62-59	إختبار تجانس العملية البواسونية للبيانات	3-4
64-63	<b>الإستنتاجات والتوصيات</b>	
63	الإستنتاجات	
64-63	التوصيات	
69-65	<b>المصادر</b>	
66-65	المصادر العربية	
69-66	المصادر الأجنبية	
	الملاحق	



## فهرست الجداول

رقم الصفحة	عنوان الجدول	رقم الجدول
19	العلاقة بين الدوال	1-2
28	بعض خصائص توزيع بواسون	2-2
42	القيم الافتراضية للمعلمة	1-3
44	التجربة الأولى تقدير دالة المعولية	2-3
45	التجربة الثانية تقدير دالة المعولية	3-3
46	التجربة الثالثة تقدير دالة المعولية	4-3
46	التجربة الرابعة تقدير دالة المعولية	3-5
47	التجربة الخامسة تقدير دالة المعولية	6-3
48	التجربة السادسة تقدير دالة المعولية	7-3
49	متوسط مربعات الخطأ لطرائق التقدير للتجربة الأولى	8-3
49	متوسط مربعات الخطأ لطرائق التقدير للتجربة الثانية	9-3
50	متوسط مربعات الخطأ لطرائق التقدير للتجربة الثالثة	10-3
51	متوسط مربعات الخطأ لطرائق التقدير للتجربة الرابعة	11-3
52	متوسط مربعات الخطأ لطرائق التقدير للتجربة الخامسة	12-3
53	متوسط مربعات الخطأ لطرائق التقدير للتجربة السادسة	13-3
58	عدد الأعطال	1-4
61	تقدير دالة المُعَوَّلِيَّة حسب طريقة الإمكان الأعظم	2-4
61	عمر الماكنة عند حدوث العطل	3-4
62	متوسط الوقت التراكمي بين فشل وآخر	4-4
62	متوسط الوقت بين فشل وآخر وقيمة المُقَدَّر ودالة المُعَوَّلِيَّة	5-4

## فهرست الأشكال والمخططات

رقم الصفحة	عنوان الشكل	رقم الشكل
8	دالة المُعَوَّلِيَّة	1-2
8	المُعَوَّلِيَّة قِياس لإحتمالية الفشل	2-2
10	دالة الكثافة الإحتمالية	3-2
11	دالة الكثافة التجميعية للتوزيعات المستمرة والمتقطعة	4-2
12	دالة المُعَوَّلِيَّة ودالة الكثافة الإحتمالية ودالة التوزيع التجميعية	5-2
13	دالة التوزيع التجميعية ودالة الكثافة الإحتمالية	6-2
15	دوال الخطورة	7-2
17	منحنى حوض الإستحمام	8-2
24	متوسط الوقت لحدوث الفشل والوسيط والمنوال	9-2
27	دالة توزيع بواسون	10-2
32	العلاقة بين عدد الحوادث والحوادث وبين الاوقات الزمنية	11-2
59	عدد الأعطال	1-4

# الفصل الأول

منهجية البحث  
وبعض الدراسات  
السابقة

## منهجية البحث

### 1-1 المقدمة Introduction

المُعَوَّلِيَّة (*Reliability*) مصطلح إحصائي يراد به تحليل المتغيرات العشوائية ذات القيم الموجبة التي تمثل الوقت حتى حدوث الفشل لأي مركبة، فهي احتمالية لإستمرار النظام على العمل خلال فترة زمنية محددة، ولقد سميت المُعَوَّلِيَّة بأسماء ومصطلحات متعددة منها الصلاحية والمصدقية والموثوقية والإعتمادية فضلاً عن أنها سميت بدالة البقاء (*Survivor function*) عندما كان الأمر يتعلق بالبشر والحياة وسميت بدالة المُعَوَّلِيَّة (*Reliability function*) عندما تتعلق الدراسة بالمكائن والآلات.

ونظراً للتطبيقات المختلفة للمُعَوَّلِيَّة في الحياة اليومية، جاء الإهتمام المتزايد للبحوث والدراسات بهذا الجانب وكانت هناك حاجة ماسة لتقدير دالة المُعَوَّلِيَّة وتطبيقها على المكائن والأجهزة ومعرفة أوقات الفشل (العطل) لتحديد مستوى أداء المنظومات وحساب التكاليف الخاصة لإعادة تشغيل المكائن.

وقد فرض التطور التكنولوجي إهتماماً متزايداً في دراسة أسباب العطلات والتوقيفات المفاجئة التي تتعرض لها الأجهزة أو المكائن على إختلاف أنواعها إذ أن الفشل الذي قد يحدث في عمل الأجهزة أو المكائن يؤدي إلى خسائر مادية مما يؤدي إلى تزايد النفقات وإنخفاض الإنتاج.

ولبيان مضمون هذه الرسالة ولتشخيص الهدف منها نشير إلى أنها قُسمت إلى أربعة فصول تناول الأول هدف البحث ومشكلة البحث وإستعراض مرجعي عن بعض البحوث والدراسات ذات العلاقة بموضوع البحث.

بينما تضمن الثاني الجانب النظري الذي تم فيه إيضاح بعض الدوال ذات العلاقة بدالة المُعَوَّلِيَّة وبعض الطرائق المختلفة لتقدير دالة المُعَوَّلِيَّة لتوزيع بواسون والوصول إلى أفضل الطرائق في تقدير هذه الدالة بالإعتماد على أحد المعايير الإحصائية المهمة وهو متوسط مربعات الخطأ (*MSE*).

أما الثالث فلقد حُصِنَ للجانب التجريبي إذ أُستخدِمَ أسلوب المحاكاة بطريقة مونت كارلو لشرح عملية المحاكاة وعرض وتحليل النتائج التي تم التوصل إليها.

ولقد تضمن الرابع الجانب التطبيقي وتم الحصول على بيانات في هذا الجانب تمثل عدد الأعطال وأيام العمل بين هذه الأعطال لبعض مكائن دار الوارث للطباعة والنشر في كربلاء المقدسة وتم تقدير دالة المُعَوَّلِيَّة لتوزيع بواسون بإستخدام طريقة الإمكان الأعظم وكذلك تم تقدير دالة المُعَوَّلِيَّة بالإعتماد على طريقة القياس.

وأخيراً تم إستعراض أهم الإستنتاجات والتوصيات التي توصلت إليها الباحثة في ضوء نتائج البحث والتي من كان من أهمها أفضلية طريقة التقلص على باقي الطرائق يليها مباشرة طريقة الإمكان الأعظم ثم طريقة انحدار بواسون وجاءت طريقة كابلن \_ مير بالدرجة الأخيرة ولجميع أحجام العينات.

### 2-1 هدف البحث Purpose of Search

يهدف البحث إلى دراسة وتحليل معدلات الفشل للمكائن في إحدى المنشآت الصناعية (دار الوارث للطباعة والنشر) في محاولة لتقليل هذه المعدلات وإعتماد التوقعات لتوزيعات وقت الإشتغال لحين الفشل لتلافي حدوثها.

### 3-1 الإستعراض المرجعي Literature Review

لقد تناول الكثير من الباحثين تقدير دالة المُعَوَّلِيَّة للأنظمة المختلفة وبإستخدام توزيعات مستمرة منها توزيع كما (Gamma Distribution) وتوزيع ويبل (Weibull Distribution) والتوزيع الأسّي (Exponential Distribution) وتوزيع ريلي (Rayleigh Distribution) والتوزيع الطبيعي (Normal Distribution) والتوزيع اللوغاريتمي (Log-Normal Distribution) وغيرها من توزيعات الفشل لكونها تتصف بخاصية مشتركة وهي خاصية فقدان الذاكرة، بينما كانت التوزيعات المتقطعة أقل حظاً من التوزيعات المستمرة في التطبيقات.

ففي عام 1971 قام الباحث (Bernard) [18] بإحتساب حدود الثقة لحاصل ضرب وقسمة معلمات توزيع بواسون وكذلك إختبار الفرضيات الخاصة بها، وأجرى تطبيقات على المُعَوَّلِيَّة، فلقد افترض أن  $K_1, K_2$  أعداد صحيحة موجبة حيث أن  $K_1 + K_2 \geq 2$  وأن  $X_1, X_2 \dots X_{k1}; Y_1, Y_2 \dots Y_{k2}$  متغيرات عشوائية مستقلة تتبع توزيع بواسون مع معلمات  $\lambda_1, \lambda_2 \dots \lambda_{k1}; M_1, M_2 \dots M_{k2}$  على التوالي، فأستخرج فترات ثقة للمعلمة  $\theta$  إذ أن:

$$\theta = \lambda_1, \lambda_2 \dots \lambda_{k1} / M_1, M_2 \dots M_{k2}$$

وأختبر الفرضيات الملائمة لها.

وفي عام 1994 قام الباحث (Miller) [37] ببيان دالة الخطورة في مراحلها الثلاث من الثبات والتزايد والتناقص وذكر أن أي دالة خطورة يجب ان تحتوي شرطين وهما:

$$(i) h(t) \geq 0 \quad (ii) \lim_{t \rightarrow \infty} \int_0^t h(x) dx = \infty$$

وأستمد صيغة للمُعَوَّلِيَّة من متوسط معدل الفشل.

في عام 1998 قام الباحث (Carson) [24] بتبيان أن توزيع ويبل له دالة خطورة متزايدة مع العمر أو مع بيانات الحياة حيث ذكرنا بأن تحليل بيانات الحياة (Life data) في بعض الأحيان يسمى تحليل ويبل (Waybill analysis).

في عام 2002 قام الباحث (البياتي) [2] بتقدير معلمات ودالة مُعَوَّلِيَّة توزيع ويبل ذي المعلمتين مستخدماً بعض طرائق التقدير الإعتيادية فلقد إستخدم طريقة الإمكان الأعظم وطريقة العزوم وطريقة المربعات الصغرى فضلاً عن طريقة بيز القياسية وطريقة التقلص وأقترح طريقة بيز الموزون التي تعتمد على توافر المعلومات الأولية والمقارنة بين هذه الطريقة والطرائق الأخرى بالإعتماد على أسلوب المحاكاة لأجل الوصول إلى أفضل طريقة للتقدير وتوصل إلى أن الطريقة المقترحة هي أفضل الطرائق مقارنة مع الطرائق المعروفة وطريقة بيز القياسي وطريقة التقلص في حين أثبت أن طريقة الإمكان الأعظم هي الأفضل مقارنة مع طريقة العزوم وطريقة المربعات الصغرى.

في عام 2005 قام الباحث (شاهر) [8] بدراسة عمليات بواسون المتجانسة وغير المتجانسة ، واقترح دالة لمعلمة توزيع بواسون الذي يتبع عمليات بواسون غير المتجانسة وتقدير معلمات هذه الدالة بالطريقة البيانية وطريقة المربعات الصغرى ، وأجرى الباحث إختبار حسن المطابقة بين نماذج المربعات الصغرى بأنواعها الخطية والتربيعية والأسية بإستخدام متوسط الخطأ النسبي المطلق (MAPE) وبالإعتماد على أسلوب المحاكاة ، وتوصل إلى أن الأنظمة القابلة للإصلاح غالباً ماتتبع عمليات بواسون غير المتجانسة لأنها تعتمد على معلمة توزيع متغيرة عبر الزمن وأن في عمليات بواسون المتجانسة يكون التزايد في عدد مرات الفشل تزايداً غير منتظماً.

وفي العام نفسه 2005 قام الباحثان (Adam & Zhao) [13] بدراسة عن عمليات بواسون المتجانسة وغير المتجانسة وإستخدام طريقة الإمكان الأعظم في تقدير المعلمة لمجموعة من البيانات تتبع توزيعاً متقطعاً وعندما يكون عدد العطلات معلوماً وفي فترة زمنية محددة ووقت الفشل (عطل الماكنة) الفعلي غير معلوم.

وفي العام نفسه 2005 إستخدم الباحث (شريم) [9] طرائق معلمية ولامعلمية في تقدير دالة البقاء لتوزيع ويبل الملوث بإفترض مستويات لتلوث البيانات واقترح صيغة بيز الموزون بديلة لدالة الخسارة التربيعية وأسماها دالة الخسارة الموزونة وتوصل إلى صيغة مقترحة أسماها مقدر بيز الموزون واقترح طريقة بيزية حسينة وأثبت أفضلية الطريقة المقترحة على الطرائق الأخرى وأعتمد في المقارنة على المقاييس الإحصائيين متوسط مربعات الخطأ التكاملي ( $IMSE$ )، ومتوسط الخطأ النسبي المطلق التكاملي ( $IMAPE$ ) ، وأوجد متوسط فترة البقاء ( $MTTF$ ) لمرضى سرطان الدم في المستشفى الجمهوري في صنعاء.

في عام 2006 قَدَّر الباحث (صالح) [10] معلمات ودالة المُعَوَّلِيَّة لتوزيع باريتو من النوع الأول في حالة توفر معلومات أولية عن العزوم وطريقة المربعات الصغرى وطريقة التقلص وأسلوب بيز للتوصل إلى أفضل طريقة بين هذه الطرائق بإستخدام المحاكاة، وتوصل إلى أفضلية أسلوب بيز في تقدير دالة المُعَوَّلِيَّة مقارنة مع باقي الطرائق.

وفي عام 2007 قامت الباحثة (الجُمَيْلي) [3] بمقارنة بعض طرائق تقدير معلمة القياس ودالة المُعَوَّلِيَّة لأنموذج ريلي في حالة البيانات التامة وتوصلت إلى أن مقدر المربعات الصغرى أفضل من طريقة الإمكان الأعظم وطريقة العزوم وطريقة بيز القياسية أما في حالة البيانات تحت المراقبة توصلت إلى أن مقدر الإمكان الأعظم أفضل من مقدر بيز القياسي، وأعتمدت على نتائج المحاكاة بطريقة مونت كارلو للقياسين الإحصائيين متوسط مربعات الخطأ ومتوسط الخطأ النسبي المطلق.

وفي العام 2008 قامت الباحثة (الياسري) [6] وآخرون بمقارنة مقدرات بيز مع مقدر الإمكان الأعظم في تقدير دالة البقاء للتوزيع الطبيعي اللوغارتمي بإستخدام بيانات مراقبة من النوع الثاني وبالإعتماد على أسلوب المحاكاة وتوصلت إلى أفضلية طريقة الإمكان الأعظم في حالة العينات الكبيرة وإلى أفضلية مقدر بيز لحجوم العينات الصغيرة ونسب المراقبة الصغيرة أيضاً.

في عام 2009 قامت الباحثة (عبد علي) [11] وآخرون بقياس مُعَوَّلِيَّة الفرن الدوار في معمل الإسمنت في كبيسة التابع لوزارة الصناعة والمعادن، بالإعتماد على مقاييس المُعَوَّلِيَّة والمتمثلة بمتوسط الوقت بين فشل وآخر ومتوسط الوقت للإصلاح والإتاحة وإستخدام توزيع ويبل ذي المعلمتين لتحليل البيانات.

وفي عام 2012 قام الباحث (عويد) [12] في إيجاد مقدرات بيز لمعلمة القياس ودالة المُعَوَّلِيَّة لتوزيع رالي بإستخدام دوال الخسارة المختلفة بإعتماد عملية المحاكاة.

في العام 2013 قام الباحث (جليل) [7] وآخرون بتقدير معلمة القياس والشكل ودالة المَعَوَلِيَّة لتوزيع ويبيل ذي المعلمتين باستخدام أسلوب بيز وأقترح طريقة جديدة لإيجاد دالة المَعَوَلِيَّة لنظام يعمل على التوالي بالإعتماد على أن عدد حالات الفشل تتبع توزيع بواسون.

وفي عام 2014 قام الباحثان (Khan & Jan) [14] بتقدير دالة المَعَوَلِيَّة لإثنين من التوزيعات المتقطعة وهما توزيع بواسون العام (*Generalized Poisson distribution*) والتوزيع الهندسي العام (*Generalized Geometric distribution*)، إذ افترضنا أن المتغير العشوائي يتبع توزيع بواسون العام إذا كانت دالة الكثافة الاحتمالية له بالشكل الآتي وبمعلمتين هما  $\beta, \lambda$  :

$$P(X = x) = \frac{\lambda^x (1 + x\beta)^{x-1} e^{-\lambda(\beta x + 1)}}{x!}, \quad x = 0, 1, 2, \dots, \lambda > 0, 0 < \beta < \frac{1}{\lambda}$$

وفي نفس العام 2014 قام الباحثان (Al-Zahrani & Sagor) [17] بتقدير معلمة القياس والشكل ودالة المَعَوَلِيَّة لخليط من توزيع بواسون (*Poisson distribution*) مع توزيع لوماكس (*Lomax distribution*) الذي هو حالة خاصة من توزيع باريتو العام (*Generalized Pareto distribution*) باستخدام طريقة العزوم (*Moment method*) والإمكان الأعظم (*Maximum Likelihood Estimation*) والتوزيع المقارب (*Asymptotic Distribution*).

وفي بداية عام 2016 قام الباحث (Kumar) [32] وآخرون بتقدير دالة المَعَوَلِيَّة ودالة الخطورة لبيانات تتوزع توزيعاً بواسوني – أُسي (*Poisson-Exponential Data*) PED إذ كانت:

$$R(x) = \left[ \frac{1 - e^{-\theta e^{-\lambda x}}}{1 - e^{-\theta}} \right] \quad x > 0, \lambda > 0, \theta > 0$$

$$h(x) = \frac{\theta e^{-\lambda x - \theta e^{-\lambda x}}}{1 - e^{-\theta e^{-\lambda x}}} \quad x > 0, \lambda > 0, \theta > 0$$

إذ أن  $R(x)$  تمثل دالة المَعَوَلِيَّة و  $h(x)$  تمثل دالة الخطورة.

وكان وسيط الوقت لفشل النظام (*Median time to system failure*) (*MdTSF*) كالآتي:

$$MdTSF = \frac{\log(\theta - \log(-\log(0.5 + 0.5e^{-\theta})))}{\lambda}$$



وكان التقدير باستخدام مقدر الإمكان الأعظم وتقدير بيز لدوال خسارة متماثلة وطريقة المربعات الصغرى باستخدام أسلوب المحاكاة وطريقة مونت كارلو بالتحديد بالإعتماد على المقياس الاحصائي ( $MSE$ ).

# الفصل الثاني الجانب النظري

## الجانب النظري

## 1-2 المَعَوَّلِيَّة Reliability

المَعَوَّلِيَّة مصطلح اشتق من عبارة (مَعَوَّل عليه) التي تشير إلى الوثوق بالشيء والإعتماد عليه. [1] ولقد أُستخدِمَ مصطلح المَعَوَّلِيَّة لأول مرة بعد الحرب العالمية الأولى وبالتحديد في العام 1920 في عملية تحسين الإنتاج من خلال استخدام عمليات السيطرة الإحصائية *Statistical control* (processes) [47].

وفي مجال الوثوق بالشيء يوجد مصطلحان الأول يتعلق بالمكائن والمعدات وأنظمتها أو بعبارة أخرى يتعلّق مع أعمار الأنظمة والمكائن والمعدات وهو ما يسمى بالمَعَوَّلِيَّة (*Reliability*) والأخر يتعلق مع البشر والبقاء (*Survival*) أي احتمال أن يكون عمر الخلية أو الكائن البشري أكبر من زمن معين وأن تمّ فهما يشتركان في قياس طول الحياة سواء أكان للماكنة أو الكائن البشري أو الحيواني.

فمنذ ثلاثينيات القرن الماضي وضع مجموعة من الباحثين نظرية تعتمد على استخدام الطريقة الإحصائية في السيطرة على عملية الإنتاج وكانت هذه البدايات في المَعَوَّلِيَّة. وبحلول الحرب العالمية الثانية وإزدياد المعدات الحربية المعقدة أصبح للمَعَوَّلِيَّة وزناً كبيراً وفعالاً في الدراسة والتطبيق وبعد الحرب العالمية الثانية استمر التطور على نحوٍ تزايدٍ تزايداً مع زيادة وتعقيد وعوبة الإنتاج وتنوع كائنه والآته. فكانت الحاجة للسيطرة على الصعوبات وإيجاد أنظمة آمنة، ولأن الحياة أصبحت أكثر عصرية ركزت البحوث والدراسات في المَعَوَّلِيَّة على حياة الأنظمة أو على فشل أو عدم فشل هذه الأنظمة في فترة زمنية محددة. [35]

وفي نهاية 1950 وبداية 1960 كان إقبال الولايات المتحدة الأمريكية على إطلاق برامج عابر القارات والتسابق مع الروس على أن يكونوا أول شعب يطأ بقدمه سطح القمر، برز دور المَعَوَّلِيَّة وكان لها الدور الكبير والأساس في الدراسة والتطبيق، ونذ ذلك الوقت ولحد الآن إزداد الإهتمام بالمَعَوَّلِيَّة في الجوانب التطبيقية. [47]

خلال السنوات الماضية كان هناك العديد من البحوث عن تقدير دالة المَعَوَّلِيَّة للعديد من التوزيعات وذلك باستخدام رائق التقدير المختلفة وفي الآونة الأخيرة كان هناك تقنيات أخرى في تقدير هذه الدالة عبر قاييس تعتمد على متوسط الوقت بين فشل وآخر.

إن التطور الكبير في مجال العلم والتكنولوجيا الحديثة و أن ثمَّ التحول من الممكنة إلى التحكم بالأجهزة والآلات عن ريق الحواسيب ومحاولة لحل مشكلة الفشل في المعدات أدى إلى ظهور الحاجة إلى المَعَوَّلِيَّة، فللمَعَوَّلِيَّة إستخدامات كثيرة في الحياة العملية وأهميتها تأتي من لال توفير الأمان للفرد و من ثم للمجتمع، فمعرفة المَعَوَّلِيَّة لكل اكنة في أي نشأة يجعل بالإمكان التنبؤ بالعدد الأثل الكلي للمكانن العاللة والعاللة في أي وقت، وعليه يكون إجراء الصيانة الدورية. فبالنظر للتكلفة الرأسمالية العالية للأول الإنتاجية فمن الطبيعي أن يتم المحافظة على تلك الأول العالية القيمة عن ريق ياننها وتشغيلها بالطريقة السليمة لئلا تتعرض للتلف السريع وإنهاء عمرها الافتراضي بكرة إضافة إلى فوائد أرى كثيرة نها قارنة عَوَّلِيَّة المنتج الحالي مع عَوَّلِيَّة المنتج السابق وبالتالي معرفة مدى التطور أو التدهور في المنتج فهي بالتالي تمثل الحجر الأساس في بناء هيكلية أي نظام.

## 2-2 دالة المَعَوَّلِيَّة Reliability function [22] [23] [30] [34]

تعرف دالة المَعَوَّلِيَّة بانها احتمال عدم فشل النظام لال فترة زمنية معينة  $[0, t]$  ويرمز لها بالرمز  $R(t)$ ، وتعرف رياضياً بالشكل الآتي:

$$R(t) = P(T > t) \quad \dots \quad (2-1)$$

حيث أن  $R(t)$  تمثل دالة المَعَوَّلِيَّة،  $T$  تغير عشوائي يرمز إلى الفترة الزمنية اللازمة لحدوث الفشل، أو هو ذلك المتغير العشوائي الذي يشير إلى وقت الإشتغال حتى حدوث الفشل. أما  $t$  فيمثل زمن الإشتغال الذي يكون أكبر أو يساوي  $t$  ( $t \geq 0$ ).

إن دالة المَعَوَّلِيَّة دالة احتمالية تمتلك الخصائص الآتية:

1. دالة المَعَوَّلِيَّة  $R(t)$  وجبة ولجميع قيم  $t$ .
2. دالة المَعَوَّلِيَّة  $R(t)$  ستمرة ولجميع قيم  $t$ .
3. الدالة  $R(t)$  رتبية تناقصة مع الزمن (*Monotonically decreasing function*).
4. ولأن الدالة  $R(t)$  دالة احتمالية فان مدى هذه الدالة حصور بين الصفر والواحد أي أن:  
 $0 \leq R(t) \leq 1$
5. إن دالة المَعَوَّلِيَّة تتناسب تناسباً عكسياً مع الزمن أي بعبارة أخرى إن:

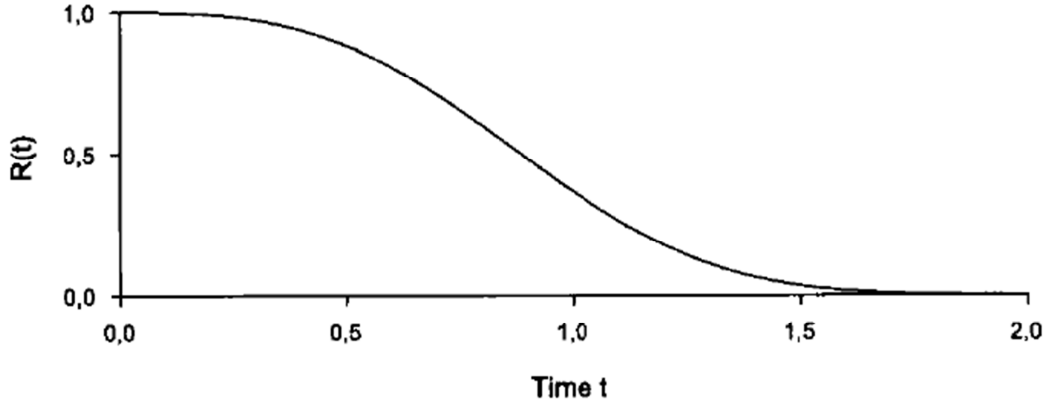


$$R(t=0) = 1$$

$$\lim_{t \rightarrow \infty} R(t) = 0$$

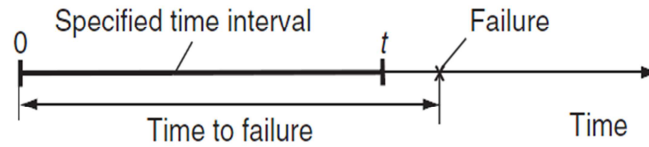
بينما

والشكل (1-2) يمثل دالة المَعَوْلِيَّة، إذ يمثل المحور السيني الوقت  $t$  والمحور الصادي يمثل قيمة دالة المَعَوْلِيَّة  $R(t)$  إذ يتبين أن الشكل التناسبي العكسي بين قيمة دالة المَعَوْلِيَّة  $R(t)$  والزمن  $t$ .



الشكل (2-1) (دالة المَعَوْلِيَّة) [35]

بينما يبين الشكل (2-2) كيف ان المَعَوْلِيَّة قياس لإحتمال عمل النظام أو كونه بدون فشل أثناء الفترة الزمنية المحددة  $[0, t)$  تحت شروط وظروف معينة:



الشكل (2-2) (المَعَوْلِيَّة قياس لإحتمالية الفشل الذي يكون أكبر من الزمن المحدد  $t$ ) [38]

### 3-2 الدوال المرتبطة بالمَعَوْلِيَّة

توجد عدة دوال مهمة ولها علاقة بالمَعَوْلِيَّة وترتبط بها ارتباطاً مباشراً بصورة أو بآري، وأن هذه الدوال التي يمكن عن ريقها تمييز أي توزيع أو توزيعات الفشل والتي تكون معرفة بالفترة  $[0, \infty]$  للمتغير العشوائي  $T$  والذي غالباً ما يكون مستمراً حتى حدوث الفشل هي:

### 1-3-2 دالة الكثافة للفشل $f(t)$ Failure density function [22] [31] [43] [45]

وهي احتمال فشل النظام خلال الفترة  $(t, t+\Delta t)$  بغض النظر عن  $\Delta t$  (والتي تمثل التغير في قيمة المتغير العشوائي  $T$  أي ان  $\Delta t = T_2 - T_1$ ) ويطلق على هذه الدالة أيضاً معدل الفشل اللاشر  $\square$  في (Unconditional failure rate).

كما ويمكن التعبير عن دالة الكثافة للفشل رياضياً بالصيغة الآتية:

$$f(t) = \lim_{\Delta t \rightarrow 0} \frac{\Pr(t < T < t + \Delta t)}{\Delta t}, \quad t \geq 0 \quad \dots \quad (2-2)$$

وهذه الدالة لها  $\square$  صائص دالة الكثافة الإحتمالية (Probability density function) أي أن:

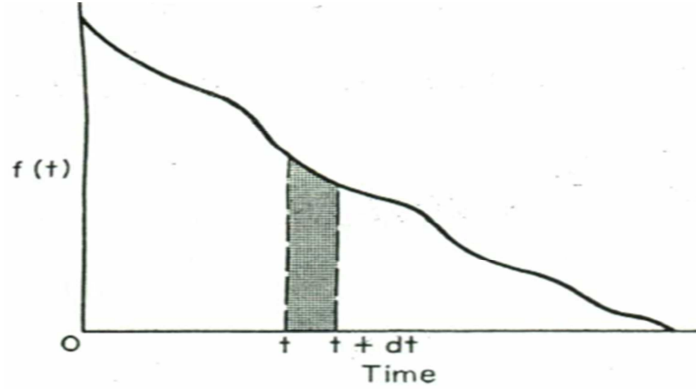
- $f(t)$  وجة دائماً.
- $\square$  جموع المساحة تحت  $\square$  نحى  $f(t)$   $\square$  ساوية دائماً إلى الواحد  $\square$  حيج أي أن:

$$\int_0^{\infty} f(t) dt = 1 \quad \dots \quad (2-3)$$

وإن احتمال حدوث الفشل في الفترة  $[t_1, t_2]$  يمكن التعبير عنه رياضياً بالشكل الآتي:

$$P(t_1 \leq T \leq t_2) = \int_{t_1}^{t_2} f(u) du \quad \dots \quad (2-4)$$

والشكل (2-3) يوضح الحالة العلية لدالة الكثافة الإحتمالية للفشل  $f(t)$  مع الزمان  $t$ ، والمساحة للشكل المتعرج هي عبارة عن  $f(t)dt$  والمساحة المحددة بين  $t, t+\Delta t$  هي عبارة عن احتمال الفشل في هذه الفترة  $[t_1, t_2]$  ولذلك فإن احتمال الفشل في الفترة  $t_1$  إلى  $t_2$  هو عبارة عن  $\int_{t_1}^{t_2} f(u) du$ .



الشكل (3-2) (دالة الكثافة الاحتمالية) [20]

### 2-3-2 دالة توزيع الفشل $F(t)$ [29][34][35][42] *Failure function distribution*

وهي دالة التوزيع التجميعية أو التراكمية للزمن  $t$  حتى حدوث الفشل (*function Cumulative distribution*)

والتي تعرف بأنها احتمال فشل المفردة أو النظام قبل الوقت  $t$  وتسمى أيضاً بدالة اللاعكسية (*Unreliability function*) ويرمز لها بالرمز  $F(t)$  ويعبر عنها رياضياً:

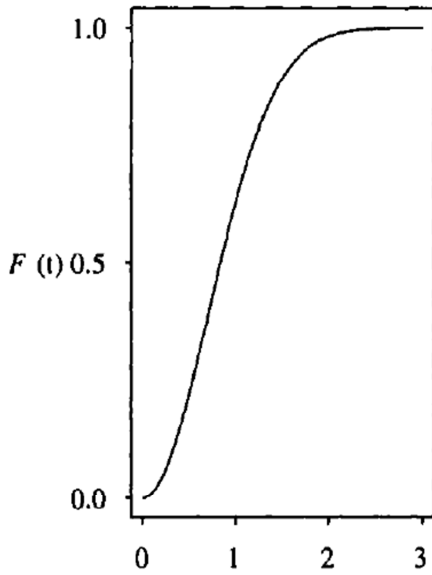
$$F(t) = P(T \leq t) \quad , \quad t \geq 0 \quad \dots \quad (2 - 5)$$

إذ أن  $T$  يمثل الوقت حتى حدوث الفشل

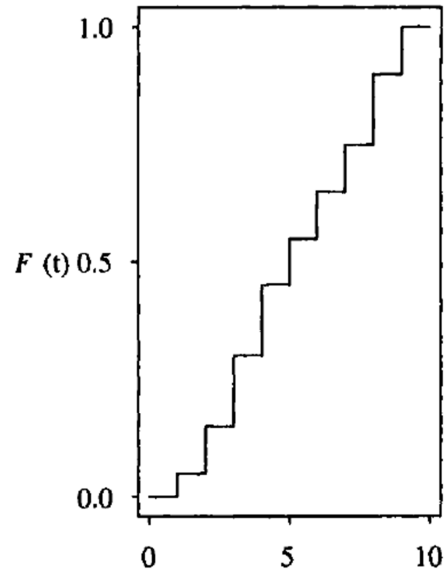
$$F(t) = \int_0^t f(u) du \quad \dots \quad (2 - 6)$$

إذ أن  $f(u)$  هي دالة الكثافة الإحتمالية للفشل للزمن  $t$ .

والشكل (4-2) يمثل دالة الكثافة التجميعية للتوزيعات المتقطعة والمستمرة إذ يمثل الشكل a على اليمين دالة الكثافة التجميعية للتوزيعات المتقطعة والشكل b الذي على اليسار يمثل دالة الكثافة التجميعية للتوزيعات المستمرة والذي نلاحظ فيه التزايد الرتيب لهذه الدالة والذي يبدأ بالصفر لينتهي بالواحد:



b. التوزيعات المستمرة



a. التوزيعات المتقطعة

الشكل (2-4) (دالة الكثافة التجميعية للتوزيعات المتقطعة والمستمرة) [33]

إن دالة التوزيع التجميعية هي دالة  $\square$  تممة لدالة المُعَوَّلِيَّة أي أن  $\square$  مجموع الدالة المُعَوَّل عليها  $R(t)$  مع الدالة التي لا يُعَوَّل عليها  $F(t)$  يساوي واحد وهي تتناسب عكسياً مع دالة المُعَوَّلِيَّة وعلى فرض أن  $R(t)$  هي دالة المُعَوَّلِيَّة فإن:

$$R(t) + F(t) = 1 \quad \dots \quad (2 - 7)$$

$\square$ نها فإن:

$$R(t) = 1 - F(t) \quad \dots \quad (2 - 8)$$

أو

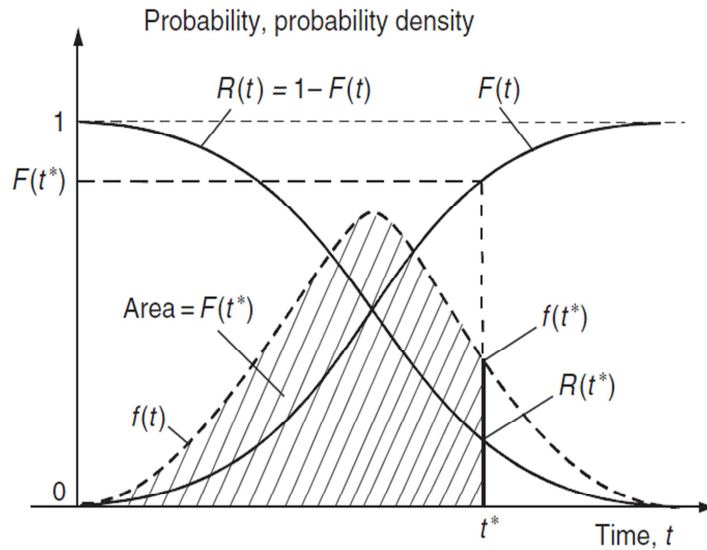
$$F(t) = 1 - R(t) \quad \dots \quad (2 - 9)$$

وبما إن  $\square$  صائص الدالة المُعَوَّلِيَّة  $R(t)$  أنها دالة رتيبة  $\square$  تناقصة وقد تنتهي بأقل قيمة لها وهي الصفر فإن  $\square$  صائص دالة التوزيع التجميعية  $F(t)$  أنها دالة رتيبة  $\square$  تزايدة وإن أعلى قيمة قد تبلغها هي الواحد  $\square$  حيح. وتتصف دالة توزيع الفشل بخصائص الدالة التجميعية (C.d.f) حيث أنها  $\square$  وجبة ولأنها إحتماالية فهي أكبر أو تساوي  $\square$  فر وأقل أو تساوي الواحد ( $0 \leq F(t) \leq 1$ ).



وبما أنه لا يمكن لأي جهاز أن يفشل قبل أن يعمل أي عند  $t=0$  فإن  $(F(0) = 0)$  ، وإن أي جهاز يعمل لابد له أن يبدأ بالفشل أي بعد مرور فترة من الزمن  $t \geq 0$  وعند  $t \rightarrow \infty$  فإن  $[ \lim_{t \rightarrow \infty} F(t) = 1 ]$  .

والشكل (5-2) يوضح الخصائص المذكورة آنفاً لكل من الدالة التجميعية والدالة المُعَوَّلِيَّة حيث نلاحظ أن أعلى قيمة لدالة المُعَوَّلِيَّة  $R(t)$  هي الواحد  $\square$  حيح وأعلى قيمة للدالة المتممة لها  $F(t)$  الواحد  $\square$  حيح أيضاً، وكذلك يبين دالة الكثافة الاحتمالية  $f(t)$ ، والمنطقة المظلمة تحت  $\square$  نحى هذه الدالة والتي  $\square$  جموع  $\square$  ساحتها  $\square$  ساوي إلى الواحد  $\square$  حيح دائماً.



الشكل (2-5) (دالة المُعَوَّلِيَّة ودالة التوزيع التجميعية للزمن حتى حدوث الفشل ودالة الكثافة الاحتمالية)

[38]

إن إحتساب إحتمال فشل النظام في الفترة  $[ t_1, t_2 ]$  بإستخدام المُعَوَّلِيَّة يمكن التعبير عنه بالشكل الآتي:

$$\int_{t_1}^{t_2} f(u) dt = \int_{t_1}^{\infty} f(u) dt - \int_{t_2}^{\infty} f(u) dt \quad \dots \quad (2 - 10)$$

$$= R(t_1) - R(t_2) \quad \dots \quad (2 - 11)$$

أما في حالة احتساب احتمال فشل النظام في الفترة  $[t_1, t_2]$  عن طريق دالة توزيع الفشل أو اللامعكولية فإن:

$$\int_{t_1}^{t_2} f(u) dt = \int_{-\infty}^{t_2} f(u) dt - \int_{-\infty}^{t_1} f(u) dt \quad \dots \quad (2 - 12)$$

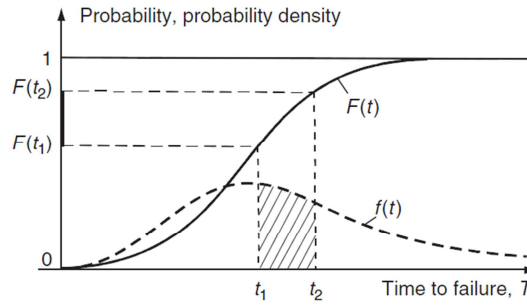
$$= F(t_2) - F(t_1) \quad \dots \quad (2 - 13)$$

كذلك فإن المساحة تحت منحنى دالة الكثافة الإحصائية والتي تتجه إلى اليسار تساوي  $F(t)$ ، وإن المساحة تحت منحنى دالة الكثافة الإحصائية بين  $t_1$  و  $t_2$  هي:

$$F(t_2) - F(t_1) = P(t_1 < T \leq t_2) \quad \dots \quad (2 - 14)$$

والشكل (6-2) يمثل احتمال الزمن حتى حدوث الفشل والذي يقع بين  $t_1, t_2$  وإن المنطقة المظللة

(Hatched area) تمثل  $F(t_2) - F(t_1)$



الشكل (6-2) (دالة التوزيع التجميعية ودالة الكثافة الاحتمالية للزمن حتى حدوث الفشل) [38]

### 3-3-2 دالة الخطورة $h(t)$ Hazard function [16] [21] [29]

وهي دالة إحصائية شرعية لكنها غير رتيبة وتسمى أيضاً بدالة معدل الفشل

(Failure rate function) وهي احتمال فشل المفردة أو النظام خلال الفترة الزمنية

$(t, t+\Delta t)$  علماً أن المفردة أو النظام يعمل (لم يفشل) حتى الزمن  $t$  ويرز لها بالرمز  $h(t)$  أي أن:

$$h(t) = \frac{P(t < T \leq t + \Delta t \mid T > t)}{\Delta t} \quad \dots \quad (2 - 14)$$

وعندما  $\Delta t \rightarrow 0$  نحصل على دالة معدل الفشل أو ما يسمى بدالة الخطورة  $(h(t))$  وبالشكل الآتي:

$$h(t) = \lim_{\Delta t \rightarrow 0} \left[ \frac{P\{t, t + \Delta t \mid t\}}{\Delta t} \right] \quad \dots \quad (2 - 15)$$

$$h(t) = \frac{dF(t)}{dt} \cdot \frac{1}{R(t)} = \frac{f(t)}{R(t)} \quad \dots \quad (2 - 16)$$

أو بمعنى آخر إن معدل الفشل في الفترة  $[t_1, t_2]$  يمكن التعبير عنه بالصيغة الآتية:

$$\frac{R(t_1) - R(t_2)}{(t_2 - t_1)R(t_1)}$$

وعليه يكون معدل الفشل في الفترة  $[t, t + \Delta t]$  بالشكل الآتي:

$$\frac{R(t) - R(t + \Delta t)}{\Delta t R(t)}$$

ولأن دالة الخطورة هي الغاية لمعدل الفشل عندما تقترب الفترة من الصفر فإن دالة الخطورة تكون بالصيغة الآتية:

$$h(t) = \lim_{\Delta t \rightarrow 0} \frac{R(t) - R(t + \Delta t)}{\Delta t R(t)} \quad \dots \quad (2 - 17)$$

$$h(t) = \frac{1}{R(t)} \left[ -\frac{\partial}{\partial t} R(t) \right] \quad \dots \quad (2 - 18)$$

كذلك يمكن القول أن:

$$\frac{f(t)}{R(t)} \quad R(t) > 0$$

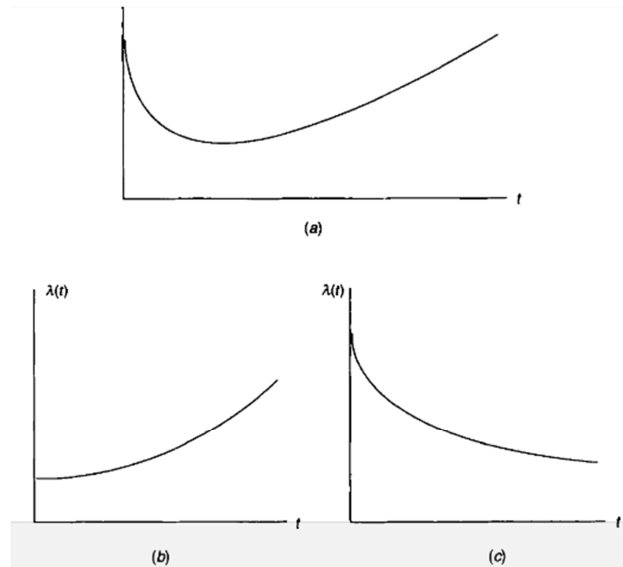
$$h(t) = \dots \quad (2 - 19)$$

$$\infty \quad R(t) = 0$$

تأتي أهمية دالة الخطورة من كونها تعبر عن التغير في معدل الفشل خلال عمر الماكينة وذلك عن طريق التعبير أو تمثيل الخطورة لكل فردة منها فعلى سبيل المثال لو كان لدينا نظماً ين يعطي كل منهما عوالية الأخر نفسها في نقطة معينة في الزمن، فإن دالة الخطورة لهما لن تكون تماثلة.

إن معدل الموت أو الوفاة في النظرية الإحصائية يماثل أو يناظر معدل الفشل (*Failure Rate*) ويكون معدل الوفيات ناظراً لدالة الخطورة، لذلك تكون دالة الخطورة (*The hazard function*) أو معدل الخطورة (*hazard rate*) أو دالة معدل الفشل (*failure rate function*) هي النسبة لدالة الكثافة الإحصائية إلى دالة المعولية.

والشكل (7-2) يمثل دالة الخطورة لثلاث حالات من الفشل:



الشكل (7-2) بعض حالات دوال الخطورة [31]

فالشكل (a) يمثل دالة الخطورة لمعدل الفشل للمكائن (*hazard for machine mortality*) في حين يمثل الشكل (b) إقتراب المكائن للوَدَم (الهرم) بالإتجاه الموجب (*positive aging*)  $\lambda$  بالنسبة للشكل (c) فهو يمثل دالة الخطورة لقدم المكائن ولكن بالإتجاه السالب (*negative aging*).

أي أن معدل الخطورة (*hazard rate*)  $\lambda$  لال العمر التشغيلي يظهر بثلاث مراحل: [30]

**المرحلة الأولى:** مرحلة التشغيل التجريبي أو الفشل في وقت مبكر (*early failures*) وتتميز هذه المرحلة بإنخفاض كفاءة الأداء ويكون فيها معدل الإِفاق أو الخطورة  $\lambda$  تناقص مع الزمن الماكينة والتي تحدث تأثيراً في كونات الماكينة  $\lambda$  ما يؤدي إلى عطلها المبكر الذي سرعان  $\lambda$  يعالج بعد التشغيل مباشرة.

**المرحلة الثانية:** مرحلة العمر المفيد أو النافع (*useful life*) وتمثل فترة الفشل الطبيعية

(*Normal failures*) وتمتاز هذه المرحلة بان معدل الخطورة فيها يميل إلى أن يكون ثابتاً إذ يكون فيها العطل عشوائياً أو بالصدفة.

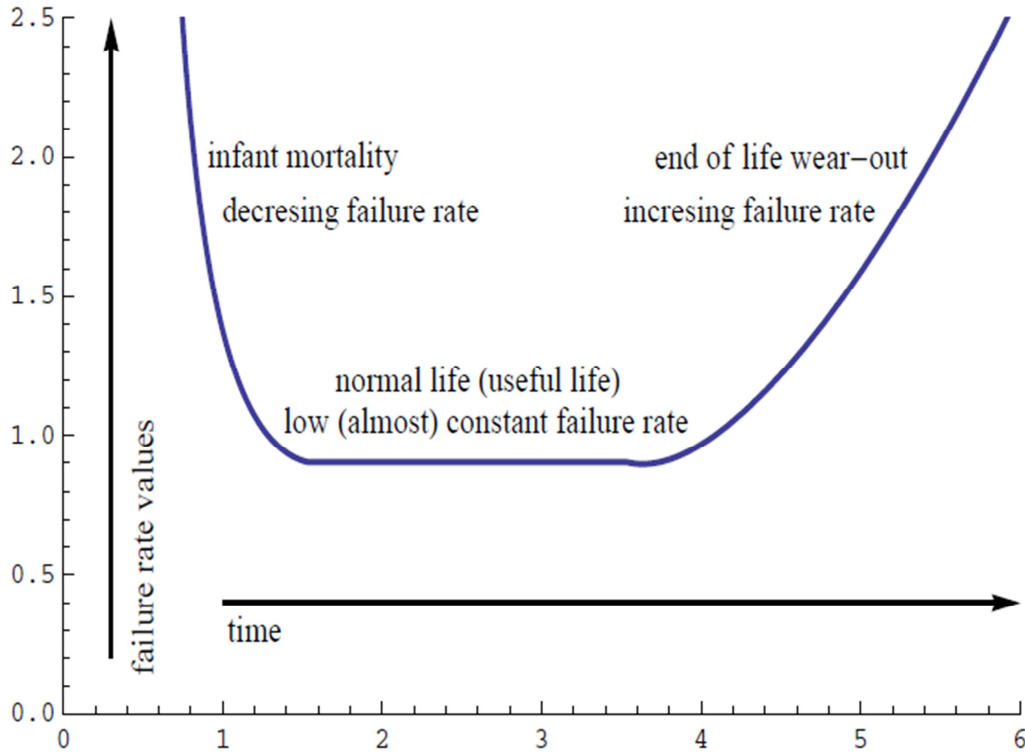
**المرحلة الثالثة:** فهي مرحلة تقادم الآلة في العمر  $\lambda$  ثم إستهلاكها وفيها تزداد العطلات بشكل ملحوظ (*IFR*) (*Increasing failure rate*) ويحدث هذا بسبب التقادم او السوفان

(*Wear out failures*) وتتميز هذه المرحلة أيضاً بإنخفاض في كفاءة الأداء وإرتفاع الخسارة بسبب التلف والإندثار والضياعات وغيرها نتيجة لكثرة العطلات والتوقفات الإضطرارية.

وتشترك كل المكائن والآلات بالخصائص العالمة لهذا المنحنى الا أنها تختلف في الزمن المستغرق لحدوث أي مرحلة فيها.

إن هذه المراحل الثلاث تشكل  $\lambda$  يسمى بحوض الإستحمام (*Bath tube shape*)، والشكل

(8-2) يمثل هذا المنحنى والمراحل الثلاث لمعدل الخطورة :



الشكل (8-2) (نحنى حوض الإستحمام) [16]

وكلما إرتفعت دالة الخطورة قلَّ مقدار التعويل أي بعبارة أُرى إن دالة الخطورة  $h(t)$  تتناسب عكسياً مع دالة المُعَوَّلِيَّة  $R(t)$  وريدياً مع دالة الكثافة الإحتمالية  $f(t)$  لذلك فان العلاقة التي تربط هذه المفردات الثلاث والمتمثلة بالمعادلة (16-2) يمكن الإستفادة منها وتطبيقها في الواقع، وإن معرفة أي إثنين من هذه الدوال تمكننا من الحصول على الدالة الثالثة.

### 4-3-2 دالة الخطورة التجميعية *Cumulative hazard function* [26] [27] [29]

$(H(t))$

ويمكن تعريفها بأنها حاصل جمع قيم عدلات الفشل خلال الفترة  $(0, t)$  ويرمز لها بالرمز  $H(t)$  ويعبر عنها رياضياً بالصيغة الآتية:

$$H(t) = \int_0^t h(u) du \quad \dots \quad (2 - 20)$$

وبما أن:

$$f(t) = \frac{d}{dt} F(t) \quad \dots \quad (2 - 21)$$

$$f(t) = \frac{d}{dt} (1 - R(t)) = -\dot{R}(t) \quad \dots \quad (2 - 22)$$

وبذلك يمكن كتابة المعادلة (2-16) بالصورة الآتية:

$$h(t) = -\frac{\dot{R}(t)}{R(t)} = -\frac{d}{dt} \cdot \text{Ln } R(t) \quad \dots \quad (2 - 23)$$

$$\int_0^t h(u) du = -\text{Ln } R(u) \Big|_0^t \quad \dots \quad (2 - 24)$$

$$\int_0^t h(u) du = -\text{Ln } R(t) + \text{Ln } R(0) \quad \dots \quad (2 - 25)$$

ولأن:

$$R(t=0) = 1$$

لذلك فإن المعادلة المذكورة آنفاً ستكون:

$$\int_0^t h(u) du = -\text{Ln } R(t) \quad \dots \quad (2 - 26)$$

□نها فإن:

$$R(t) = \exp\left[-\int_0^t h(u) du\right] \quad \dots \quad (2 - 27)$$

$$R(t) = \exp[-H(t)] \quad \dots \quad (2 - 28)$$

والجدول (1-2) يبين العلاقة بين الدالة الإحصائية والتجميعية ودالة المعولية ودالة الخطورة ودالة الخطورة التجميعية:

الجدول (2-1) العلاقة بين دوال الكثافة للفشل  $f(t)$  وتوزيع الفشل  $F(t)$  والمُعَوَّلِيَّة  $R(t)$  والخطورة  $h(t)$  والخطورة التجميعية  $H(t)$  [34] [28]

To om	$f(t)$	$F(t)$	$R(t)$	$h(t)$	$H(t)$
$f(t)$	-	$\int_0^t f(u) du$	$\int_t^\infty f(u) du$	$\frac{f(t)}{\int_t^\infty f(u) du}$	$\ln \left\{ \int_t^\infty f(u) du \right\}$
$F(t)$	$\frac{d}{dt} F(t)$	-	$1 - F(t)$	$\frac{\frac{d}{dt} F(t)}{1 - F(t)}$	$-\ln[1 - F(t)]$
$R(t)$	$-\frac{d}{dt} R(t)$	$1 - R(t)$	-	$\frac{d}{dt} \ln R(t)$	$-\ln R(t)$
$h(t)$	$h(t) \exp \left\{ -\int_0^t h(u) du \right\}$	$1 - \exp \left\{ -\int_0^t h(u) du \right\}$	$\exp \left\{ \int_0^t h(u) du \right\}$	-	$\int_0^t h(u) du$



$H(t)$	$\left\{ \frac{d}{dt} H(t) \right\} \exp\{-H(t)\}$	$1 - \exp\{-H(t)\}$	$\exp\{-H(t)\}$	$\frac{d}{dt} H(t)$	-
--------	--	---------------------	-----------------	---------------------	---

### 2-3-5 دالة متوسط معدل الفشل $FRA(t)$ Failure rate average [36] [30]

وتسمى أيضاً معدل نسبة الإفاقة وهي معدل نسبة الفشل في الفترة  $(0, t)$  وهي عبارة عن ناتج قسمة دالة الخطورة التجميعية على الزمن  $t$  ويرمز لها بالرمز  $FRA(t)$  ويعبر عنها رياضياً:

$$FRA(t) = \frac{H(t)}{t} \quad \dots \quad (2-29)$$

وإن المعادلة (2-26) نحصل على:

$$H(t) = -\ln R(t) \quad \dots \quad (2-30)$$

وبالقسمة على الزمن  $t$  وبتطبيق المعادلة (2-29) نحصل على:

$$FRA(t) = \frac{-\ln R(t)}{t} \quad \dots \quad (2-31)$$

### 2-4 قياس المَعَوَّلِيَّة $Measuring reliability$ [46] [34]

يمكن قياس المَعَوَّلِيَّة عن طريق إستخدام بعض المقاييس أو المؤشرات وعليها تترتب إكانية إتخاذ القرار المناسب بصيانة الماكنة أو إستبدالها، وإن هذه المقاييس أو المؤشرات:

#### 2-4-1 متوسط الوقت بين فشل وآخر $(MTBF)$ Mean time between failures

وهو إن المقاييس ذات الأهمية في إتخاذ القرار بالنسبة للمستخدم في تحديد سعر المنتج  $RFQ$  (*Request For Quote*) بدون الحاجة إلى بيانات سابقة أو بيانات دقيقة. ويمكن التعبير عنه بالصيغة الآتية:

$$MTBF = \frac{\text{Total time of all units}}{\text{Total failures}} \quad \dots \quad (2-32)$$

والتي تمثل حاصل قسمة مجموع الوقت لكل الوحدات (المكائن) على مجموع العطلات.

إن متوسط الوقت بين فشل وآخر يعرف على أنه عكوس معدل الفشل أي عند تخضع العطلات إلى توزيع بواسون فإن أوقات العمل بين العطلات تخضع للتوزيع الأسّي وإن علمة التوزيع  $\lambda$  يمكن التعبير عنها بأنها عكوس متوسط الوقت بين فشل وآخر أي أن  $\lambda = \frac{1}{MTBF}$  وإنها نستطيع أن نتوّل إلى تقدير المعلمة  $\lambda$  إذ أن:

$$\hat{\lambda} = \frac{1}{MTBF} \quad \dots \quad (2 - 33)$$

### 2-4-2 متوسط الوقت للإصلاح (MTTR)

وهو المقاييس المهمة التي تُستخدم في دراسةيانة الأنظمة وهو متوسط الوقت اللازم لإصلاح المركبة، وهو يعني بصورة عامة إصلاح أو إستبدال الجزء العال، لذلك يعتبر قياس كفاءة العالين في الصيانة فكما ارتفع بقيمته كان ذلك دليلاً على إنخفاض الكفاءة وتحسب قيمته قيمة متوسط الحياة للتوزيع لأوقات الإصلاح، أي أنه يمثل متوسط الوقت من لحظة حدوث الفشل إلى اللحظة التي تصبح فيها الماكنةالحة للعمل. فلو كان  $T$  تغير عشوائي يمثل وقت الإصلاح أو مجموع وقت التعطل (Total downtime) وكانت  $g(t)$  دالة الكثافة لوقت الإصلاح (Repair time density function) فان  $MTTR$  يمثل القيمة المتوقعة للمتغير العشوائي لوقت الإصلاح وليس لوقت الفشل ويمكن التعبير عنه بالصيغة الآتية:

$$MTTR = \int_0^{\infty} t g(t) dt \quad \dots \quad (2 - 34)$$

فلو كان للتوزيع كثافة وقت إصلاح  $g(t) = Me^{-Mt}$  فإن متوسط الوقت للإصلاح يكون بالصيغة الآتية:

$$MTTR = \frac{1}{M} \quad \dots \quad (2 - 35)$$

### 3-4-2 متوسط الوقت للفشل (MTTF) [27] [35]

ويُعد من أهم المقاييس وهو عبارة عن القيمة المتوقعة لزمان الإشتغال حتى حدوث الفشل الأول فهو يمثل متوسط الوقت بين إكمال التصليح الأير وبداية الفشل القادم وهو قيمة إحصائية يُستفاد منه للفترات الزمنية الطويلة ولأعداد الكبيرة من الوحدات الصناعية، وبشكل تقني فإن  $MTBF$  يُستخدم فقط للأنظمة القابلة للإصلاح في حين أن  $MTTF$  يُستخدم للأنظمة غير القابلة للإصلاح، ومع ذلك يُستخدم  $MTBF$  عموماً لكلا النظريين القابلة وغير القابلة للإصلاح.

ويمكن التعبير عن متوسط الوقت للفشل بالشكل التالي:

$$MTTF = \frac{\sum \text{Total time of all units}}{\text{Number of failures}} \quad \dots \quad (2 - 36)$$

وإن المعلوم أن  $E(t)$  توسط الوقت للفشل يعبر عنه ب  $E(t)$  فان:

$$MTTF = E(t) = \int_0^{\infty} t f(t) dt \quad \dots \quad (2 - 37)$$

$$f(t) = -\dot{R}(t) \quad \text{وبما أن}$$

$$MTTF = - \int_0^{\infty} t \dot{R}(t) dt \quad \dots \quad (2 - 38) \quad \text{فإن}$$

ويستخدم التكامل بالتجزئة

$$MTTF = - [t R(t) |_0^{\infty}] + \int_0^{\infty} R(t) dt \quad \dots \quad (2 - 39)$$

وإذا كان  $MTTF < \infty$  إذا نرى أن:

$$[t R(t)] = 0$$

في هذه الحالة

$$MTTF = \int_0^{\infty} R(t) dt \quad \dots \quad (2 - 40)$$

وعليه تكون عَوَلِيَّة الماكنة  $j^{th}$  التي تمثل احتمالية قيام تلك الماكنة بالعمل خلال فترة زمنية محددة  $t$   $\square$  ممثلة بالصيغة الآتية:

$$R_j(t) = e^{\frac{-t}{MTTF}} \quad \dots \quad (2 - 41)$$

□ ان الممكن إيجاد قيمة ال (MTTF) □ ان المعادلة (2-41)، وكذلك يمكن إيجاد ال (MTTF) باستخدام تحويل لابلاس (Laplace transforms) \*.

ان تحويل لابلاس لدالة المُعَوَّلِيَّة  $R(t)$  سيكون كما يأتي:

$$R^*(s) = \int_0^{\infty} R(t)e^{-st} dt \quad \dots \quad (2 - 42)$$

وعندما تكون  $S=0$

$$R^*(0) = \int_0^{\infty} R(t)dt = MTTF \quad \dots \quad (2 - 43)$$

كما ويعد  $MTTF$  □ ان أحد القياسات المستخدمة لمركز توزيع الحياة (وسيط الحياة) ويمكن التعبير عنه بما يأتي:

$$R(tm) = 0.50$$

أي أن الوسيط يقسم أي توزيع □ ان توزيعات الحياة إلى قسمين هما:

الأول: النظام يفشل قبل الوقت  $tm$  باحتمال % 50.

والثاني: النظام يفشل بعد الوقت  $tm$  باحتمال % 50.

□ ان المنوال لتوزيع الحياة هو الأكثر ترجيحاً لأن يكون وقت للفشل، فالوقت  $t_{mode}$  يحرز على أعلى □ كانه له عند □ ان تكون دالة الكثافة الإحتمالية  $f(t)$  بالشكل الآتي:

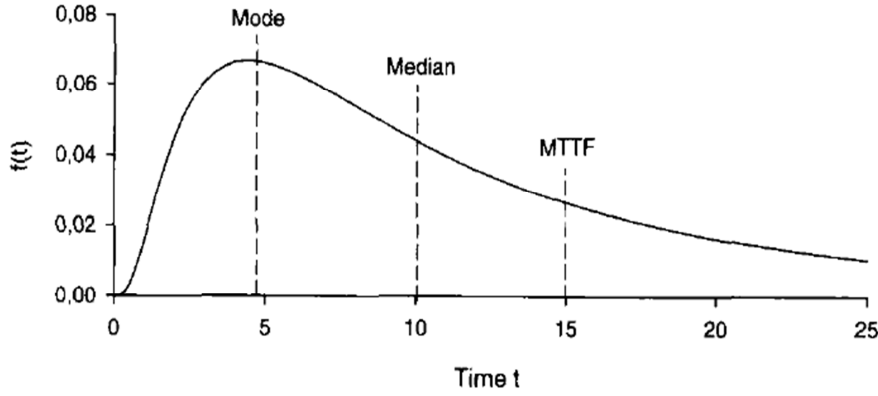
$$f(t_{mode}) = \max_{0 \leq t \leq \infty} f(t)$$

\*لتكن  $f(t)$  دالة □ وجوده في الفترة  $(0, \infty)$ . فإن تحويل لابلاس للدالة  $f(t)$  هو  $f^*(s)$  ويعرف بالصيغة الآتية: [35]

$$f^*(s) = \int_0^{\infty} e^{-st} f(t) dt$$

إذ أن  $s$  عدد حقيقي.

والشكل (9-2) يمثل وضع □ وتوسط الوقت للفشل ( $MTTF$ ) والوسيط ( $Median$ ) والمنوال ( $Mode$ ) للتوزيع إذ نلاحظ أن □ وقعها جميعاً ينحرف إلى اليمين.



الشكل (9-2) وضع الـ  $MTTF$ ،  $Mode$ ،  $Median$  [34]

□ ما تبين الز□ حتى حدوث الفشل ( $Variance Time To Failure$ ) ( $VTTF$ ) يمكن التعبير عنه بالصيغة الآتية:

$$Var ( T ) = E ( T^2 ) - [ E ( T ) ]^2 \quad \dots \quad (2 - 44)$$

$$= \int_0^{\infty} t^2 f ( t ) dt - [ \int_0^{\infty} t f ( t ) dt ]^2 \quad \dots \quad (2 - 45)$$

#### 4-4-2 الإتاحة $Availability$ [28]

وهي قدرة المركبة أو الماكينة ( $item$ ) القابلة للإ□ للاح أو الصيانة لتنفيذ العمل المطلوب □ نها □ لال فترة ز□ نية □ حدة، فهي إحتمال أن الماكينة في حالة عمل في الفترة المحددة، وهي تمثل النسبة بين □ توسط الوقت بين فشل و□ ر إلى □ جموع □ توسط الوقت بين فشل و□ ر □ ضافاً إليه □ توسط وقت الإ□ للاح ويمكن التعبير عنه بالصيغة الآتية:

$$Availability = \frac{MTBF}{MTBF + MTTR} \quad \dots \quad (2 - 46)$$

$$A = \frac{1}{1 + \frac{MTTR}{MTBF}} \quad \dots \quad (2 - 47)$$

إذ أن  $\frac{MTTR}{MTBF}$  يمثل نسبة متوسط الزمن اللازم للإصلاح إلى متوسط الزمن بين فشل و إصلاح. فكلما إنخفضت هذه النسبة (أي إنخفضت التوقفات أو أوقات الفشل) إرتفع معدل الإتاحة وفي حالة عدم وجود فشل وإن تَمَّ عدم وجود أوقات بين فشل وإصلاح فإن الإتاحة ستكون كإتاحة اي 100% حسب العلاقة المذكورة آنفاً.

إن الإتاحة  $A(t)$  للزمن  $t$  هي:

$$A(t) = P(\text{item is functioning at time } t)$$

إذ أن مصطلح (*functioning*) يعني هنا أن المركبة أو الماكينة في حالة عمل أي لا تُلبس بها ذلك.

إن الإتاحة تشابه وتساوي المُعَوَّلِيَّة في الماكائن غير القابلة للإصلاح، أما في حالة الماكائن القابلة للإصلاح فإن المُعَوَّلِيَّة لا تتغير أما الإتاحة فإنها تكون قد تغيرت.

إن معدل الإتاحة (*Average Availability*) يسجل عن إنتساب زمن المركبة في حالة إستمرارها بالعمل فلو كان لدينا مركبة مصنوعة جيدة كالجديدة) يكون معدل الإتاحة لها بالصيغة الآتية:

$$A_{av} = \frac{MTTF}{MTTF + MTTR} = \frac{1}{1 + \frac{MTTR}{MTTF}} \quad \dots \quad (2 - 48)$$

إذ أن (*MTTF*) يدل على متوسط وقت إستمرار المركبة على العمل.

وإن (*MTTR*) يدل على متوسط الوقت للإصلاح.

وأحياناً يُستخدم *MDT* (*Mean downtime*) والذي نعني به متوسط وقت التوقف عن العمل بدلاً من *MTTR* أي نستخدم متوسطات زمن التوقف عن العمل بدلاً عن متوسط الزمن للإصلاح لإيجاد معدل الإتاحة.

وإن الجدير الإشارة إلى أن:

$$MTBF = MTTF + MTTR \quad \dots \quad (2 - 49)$$

## 5-2 التوزيعات الإحصائية *Statistical distribution* [40]

يوجد الكثير من التوزيعات المستمرة والمتقطعة التي يمكن أن تكون دوال الكثافة الاحتمالية لها تستخدم لنماذج زمن الحياة (*Lifetime*) ولذلك سنتطرق إلى ذكر أسماء مجموعة من هذه التوزيعات على سبيل المثال لا الحصر.

### 1-5-2 التوزيعات المستمرة *Continuous distribution*

- التوزيع الأسي (*The exponential distribution*)
  - توزيع كاي (*The gamma distribution*)
  - توزيع ويبل (*The Weibull distribution*)
  - توزيع اللوغاريتم الطبيعي (*The lognormal distribution*)
  - عكوس توزيع كوس (*The inverse Gaussian distribution*)
- وهذه التوزيعات تتصف بخاوية فقدان الذاكرة (*Memoryless property*) والذي يسمى أيضاً بالتطور بدون تأثيرات لاحقة ويمكن اعتماد هذه الخاصية في إيجاد وإحتساب قيمة المعولية. وتمتلك هذه التوزيعات دالة خاوية متغيرة للال الزمن  $t$  اعدا التوزيع الأسي فهو يمتلك دالة خاوية ثابتة.

### 2-5-2 التوزيعات المتقطعة *Discrete distribution*

كذلك بالنسبة للتوزيعات المتقطعة توجد عدة توزيعات تستخدم الأعداد الصحيحة كمتغيرات عشوائية لها تطبيقات هي الأري في المعولية وهي:

- توزيع بواسون (*The Poisson distribution*)
  - توزيع ذو الحدين (*The binomial distribution*)
  - توزيع فوق الهندسي (*The hypergeometric distribution*)
- إن عدد حالات الفشل تكون قليلة ونادرة عند ما تكون المكائن والألات حديثة، وإن في الجانب التطبيقي وجد أن عدد حالات التوقف عن العمل أو عدد مرات الفشل تخضع إلى توزيع بواسون وعليه سيتم التحدث عن هذا التوزيع بشيء من التفصيل.



## 6-2 توزيع بواسون Poisson distribution [40]

عُرف توزيع بواسون  $\square$  ن لدن عالم الرياضيات الفرنسي المشهور سيمون بواسون (1781-1840) (Simeon – Denis Poisson) ويسمى أيضاً قانون بواسون للأعداد الصغيرة وهو توزيع إحصائي  $\square$  يفصل يعبر عن احتمالية حدوث عدد  $\square$  ن الأحداث نادرة الحدوث أو غير  $\square$  توقعة يكون فيها احتمال النجاح ضعيفاً ، ضمن فترة زمنية  $\square$  نية محددة ولعدد كبير  $\square$  ن المحاولات .

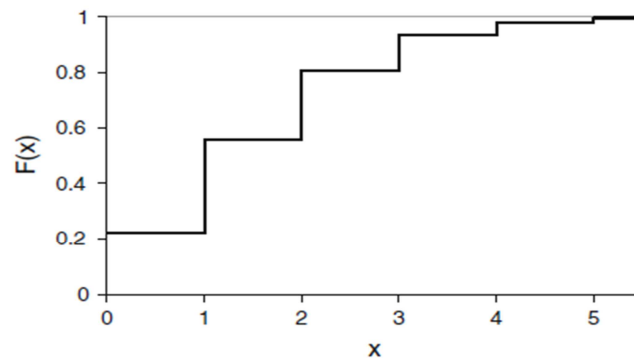
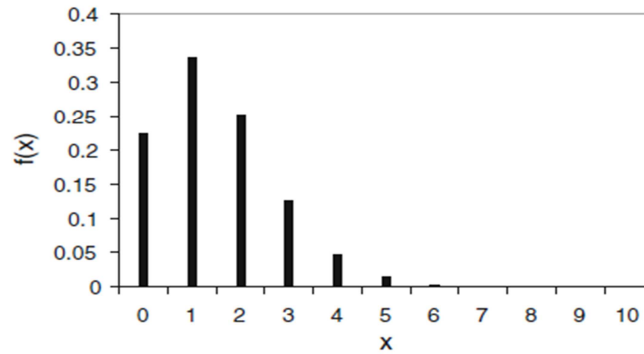
فليكن  $X$  المتغير العشوائي الذي يمثل عدد المرات التي سيحصل فيها الحدث في الفترة الزمنية  $T$  فسوف يتبع هذا المتغير التوزيع الآتي والمعروف بتوزيع بواسون:

$$P(x) = P(X = x) = \frac{e^{-\lambda} \lambda^x}{x!} \quad x = 0, 1, 2, \dots \quad \dots \quad (2 - 50)$$

علماً أن  $\lambda$  عدد حقيقي.

و  $P(x)$  احتمال حصول الحدث  $x$  في الزمن  $T$  .

والشكل (10-2) يمثل دالة الكثافة الإحصائية ودالة الكثافة التراكمية على التوالي لتوزيع بواسون



الشكل (10-2) دالة توزيع بواسون [28]

كما أن دالة توزيع الفشل (أو دالة التوزيع التجميعية) لتوزيع بواسون تكون بالصيغة الآتية:

$$F(x) = \sum_{i=0}^x f(X = i) \quad , \quad x \geq 0 \quad \dots \quad (2 - 51)$$

$$F(x) = P(X \leq x) = \sum_{x=0}^n \frac{e^{-\lambda} \lambda^x}{x!} \quad , \quad n \geq 0 \quad \dots \quad (2 - 52)$$

إن توزيع بواسون يقترب من توزيع ذي الحدين (*Binomial distribution*) عندما يكون النجاح ( $p$ ) ضعيفاً جداً ويقترب من الصفر، وإن حجم العينة التي يقاس بها توزيع بواسون يجب أن يكون كبيراً.

إن متوسط وتباين وعال الإلتواء والوسيط وعلقات فيشر والدالة المميزة لتوزيع بواسون معطاة في الجدول (2-2) وعلى التوالي:

الجدول (2-2) بعض صائص توزيع بواسون [48]

<i>Properties</i>	<i>Formula</i>
<i>Mean</i>	$\lambda$
<i>Variance</i>	$\lambda$
<i>Skewness</i>	$\lambda^{-\frac{1}{2}}$
<i>Median</i>	$ \lambda + \frac{1}{3} - 0.02/\lambda $
<i>Fisher info.</i>	$\lambda^{-1}$
<i>Characteristic function</i>	$Exp(\lambda(e^{it} - 1))$

## 7-2 عمليات بواسون *Poisson processes* [49]

إذا كان لنظام معدل فشل ثابت (*Constant failure rate*) وليكن  $\lambda$  ويكون أكبر من فر لعدد  $x$  مرات الفشل خلال  $t$  من الزمن فإن عدد الفشل المشاهد في الفترة  $t$  له توزيع بواسون بكتلة احتمالية هي:

$$P_x(t) = \frac{e^{-\lambda t} (\lambda t)^x}{x!}, \quad x = 0, 1, 2, \dots \quad \dots \quad (2 - 53)$$

إذ أن:

$x$  عدد حالات الفشل في الزمن  $t$ .

$\lambda$  معدل الفشل.

$t$  يعبر عن الزمن.

$P_x(t)$  احتمال حدوث  $x$  ن الفشل في الزمن  $t$ .

$e$  عدد إييلر (Euler's number)  $e = \lim_{n \rightarrow \infty} (1 + 1/n)^n = 2.71828$

كذلك فإن احتمال عدم وجود أي فشل في الزمن  $t$  هو:

$$P_0(T) = \frac{e^{-\lambda t} (\lambda t)^0}{0!} = e^{-\lambda t} \quad \dots \quad (2 - 54)$$

ولأن دالة المَعُولِيَّة لتوزيع بواسون  $R(k)$  التي هي احتمال عدم الفشل ل  $k$  ن الحوادث المعدودة في الفترة  $(0, t)$  والتي يمكن التعبير عنها بالصيغة الآتية:

$$R(k) = 1 - \sum_{x=0}^k \frac{(\lambda t)^x e^{-\lambda t}}{x!} \quad \dots \quad (2 - 55)$$

إن علامة دالة التوزيع لعمليات بواسون هي:

$$\lambda(t) = \lim_{\Delta t \rightarrow 0} \frac{P(N(t, t + \Delta t) = 1)}{\Delta t} \quad \dots \quad (2 - 56)$$

وإن معدل عدد حالات الفشل في الفترة  $(0, t)$  هو:

$$\lim_{\Delta t \rightarrow 0} \frac{P(N(t, t + \Delta t) \geq 2)}{\Delta t} = 0 \quad \dots \quad (2 - 57)$$

وإن الوسط الحسابي للحوادث في الفترة الزمنية  $(0, t]$  والذي يمثل التوقع لعدد حالات الفشل هو:

$$E(N(t)) = \sum_{x=0}^{\infty} x \cdot P(N(t) = x) = \lambda t \quad \dots \quad (2 - 58)$$

في حين أن التباين للحوادث في الفترة الزمنية  $(0, t]$  هو:

$$Var(N(t)) = \lambda t \quad \dots \quad (2 - 59)$$

وعندما تكون الحادثة أو  $n$  الحوادث حدثت في الفترة الزمنية  $(t, t + \Delta t)$  فهذا يعني أن كل قيم الزمن في هذه الفترة هي أكبر من  $t$  وأقل من  $t + \Delta t$  أو تساوي  $t + \Delta t$  علماً أن  $\Delta t$  تناهية في الصغر حتى أنها تكاد تقترب إلى الصفر، وإن الحوادث التي تحدث في الفترة  $(t, t + \Delta t)$  مستقلة عن الحوادث التي تحدث في الفترة  $(0, t]$  وعليه يكون:

• احتمال عدم حدوث أي حادثة في الفترة  $(t, t + \Delta t)$  هو:

$$P\{\text{no events during}(t, t + \Delta t)\} = 1 - \lambda \Delta t + o(\Delta t) \quad \dots \quad (2 - 60)$$

• احتمال حدوث حادثة واحدة خلال الفترة  $(t, t + \Delta t)$  هو:

$$P\{\text{one event during}(t, t + \Delta t)\} = \lambda \Delta t + o(\Delta t) \quad \dots \quad (2 - 61)$$

• احتمال حدوث حادثتين أو أكثر في الفترة  $(t, t + \Delta t)$  هو:

$$P\{\text{two or more events during}(t, t + \Delta t)\} = o(\Delta t) \quad \dots \quad (2 - 62)$$

وبشكل عام فإن الشرطين الوحيديين اللذين يجب توافرها في العملية العشوائية (Stochastic process) لتكون عملية بواسونية هما:

1.1.1. خاصية الإستقرار (The Stationary property) التي تقريباً نعني بها

$$\lim_{\Delta t \rightarrow 0} P(N(t + \Delta t) - N(t) > 1 \mid N(t + \Delta t) - N(t) \geq 1) = 0$$

الذي يشير ضمناً إلى أن العطلات لا تحدث في الوقت نفسه.

2.1.1. خاصية فقدان الذاكرة (Memoryless property)

يقال عن المتغير العشوائي بأنه يمتلك خاصية فقدان الذاكرة إذا كان  $P(X > 0) = 1$  وهذا

يعني أن المتغير  $X$  هو متغير عشوائي ويجب لكل  $t \geq 0$  و  $X > 0$  إذ أن:

$$P(X > t + x) = P(X > x) P(X > t) \quad \dots \quad (2 - 63)$$

أي أن عدد العطلات أو الفشل الذي يحدث في فترة زمنية محددة بعد الوقت  $t$  تكون مستقلة عن العطلات أو الفشل الذي يحدث قبل الوقت  $t$ . أي أن حدوث حادثة مستقبلية لا يعتمد على المعلومات الحالية أو الماضية بمعنى آخر لا يمكن التنبؤ بحصولها، وبشكل  $\lambda$  إن هذه الشروط غير التقييدية تشير ضمناً إلى أن الوقت بين الأحداث المتتالية (أو بما يسمى بالفترات الزمنية) هو عبارة عن تغيرات عشوائية، وتنقسم عمليات بواسون إلى نوعين رئيسيين وهما:

1. عمليات بواسون المتجانسة Homogenous Poisson processes

2. عمليات بواسون غير المتجانسة Nonhomogeneous Poisson processes

### 1-7-2 عمليات بواسون المتجانسة (HPP) Homogenous Poisson processes

[16] [35]

يقال أن المتغير العشوائي المعداد  $N(t)$  الذي يمثل عدد حالات الفشل للفترة  $[0, t]$  يتبع عمليات بواسون المتجانسة إذا كانت معلمة التوزيع  $\lambda$  ثابتة وتتغير بمعدل ثابت خلال الفترة الزمنية  $[0, t]$  وتتوفر فيه الشروط الآتية:

•  $N(0) = 0$  أي أن عدد حالات الفشل في الوقت  $t$  يجب أن تكون  $t$  فرأ.

•  $\{N(t), t \geq 0\}$  لها زيادات مستقلة ومستقرة\*\*.

•  $P(N(\Delta t) = 1) = \lambda \Delta t + 0(\Delta t)$

•  $P(N(\Delta t) \geq 2) = 0(\Delta t)$

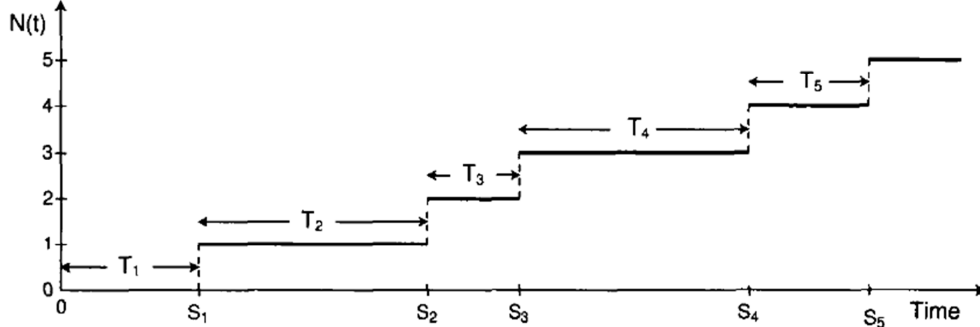
وعليه يكون احتمال حدوث  $n$  حوادث في الفترة  $[a, b]$  تمثل بالصيغة الآتية:

$$P[N(b) - N(a) = n] = \frac{[\int_a^b \lambda(t) dt]^n e^{-\int_a^b \lambda(t) dt}}{n!}, \quad n = 0, 1, 2, \dots$$

\* للفترة الزمنية  $[a < b \leq c < d]$  يكون المتغير العشوائي  $N(a, b)$  مستقلاً عن المتغير العشوائي  $N(c, d)$ . أي أن عدد العطلات التي تحدث في الفترة  $[a, b]$  يكون مستقلاً عن عدد العطلات التي تحدث في الفترة  $[c, d]$  وهذا  $\lambda$  يسمى بخالية التزايد المستقلة (Independent increment property).

\*\* يقال إن نقطة العمليات لها زيادات مستقرة عند  $\lambda$  يكون الاحتمال لها  $P(N(t, t+s)=k)$  مستقلاً عن الوقت  $t$ . [47]

والشكل (11-2) يمثل العلاقة بين عدد حالات حدوث الحادثة  $N(t)$  مع الفترات الزمنية للفشل على  $t$  التقويم السنوي:



الشكل (11-2) العلاقة بين عدد الحوادث  $N(t)$  والحوادث  $(T_i)$  وبين الأوقات الزمنية  $(S_i)$  [38]

عندما يكون حدوث الحوادث بشكل عشوائي خلال فترة زمنية معينة ويكون المعدل الزمني لحدوث الفشل هو كمية ثابتة لكل قيم  $t$  أي أنها لا تتأثر بالزمن في سلوكها تسمى عملية بواسونية متجانسة. في حين إذا كان المعدل الزمني لحدوث الفشل يتغير بتغير الزمن  $t$  والذي يسمى بالمعدل الزمني للحدوث أو يطلق عليه دالة الشدة (*Intensity function*) ويرمز له بالرمز  $\lambda t$  فإنها تسمى عمليات بواسون غير المتجانسة، وتعد دراسة العمليات البواسونية غير المتجانسة من الأهمية لإرتباطها بالحالات أو الظواهر الواقعية والتي يكون فيها المعدل الزمني لحدوث الحوادث يتغير بتغير الزمن.

## 2-7-2 عمليات بواسون غير المتجانسة [16] [19] *Nonhomogeneous Poisson*

### *(NHPP) processes*

إن عمليات بواسون التي يكون فيها المعدل الزمني لحدوث الحوادث (نسبة الحدوث)  $\lambda(t)$   $t$  تغيراً لكل قيم  $t$  أي أنها تتأثر بالزمن  $t$  في سلوكها، فإنها تسمى عمليات بواسون غير المتجانسة فيقال أن المتغير العشوائي  $N(t)$  الذي يمثل عدد حالات الفشل للفترة  $[0, t)$  يتبع عمليات بواسون غير المتجانسة مع معدل فشل  $\lambda t$  و  $t \geq 0$  (غير ثابت) إذا توافرت الشروط الآتية:

- $N(0) = 0$  أي ان عدد حالات الفشل في الوقت  $t$  يجب أن تكون  $t$  فرأ.

•  $\{N(t), t \geq 0\}$  لها زيادات مستقلة ولكنها غير مستقرة.

• إن احتمال حدوث حادث واحد خلال الزمن  $\Delta t$  هو:

$$P\{N(t + \Delta t) - N(t) = 1\} = \lambda(t)\Delta t + o(\Delta t) \quad \dots \quad (2 - 64)$$

•  $P\{N(t + \Delta t) - N(t) \geq 2\} = o(\Delta t)$  أي أن احتمال حدوث أكثر من حادث في المدة الزمنية  $\Delta t$  يقترب من الصفر.

إن توزيع عدد الحوادث في الفترة  $(t_1, t_2]$  يتبع توزيع بواسون بمعلمة  $\lambda(t_2 - t_1)$  ولهذا تكون دالة الكثافة الإحصائية لها بالشكل الآتي:

$$P\{N(t_2) - N(t_1) = n\} = \frac{[\lambda(t_2 - t_1)]^n e^{-\lambda(t_2 - t_1)}}{n!} \quad \dots \quad (2 - 65)$$

وإن الملاحظ أن عمليات بواسون المتجانسة هي حالة خاصة من عمليات بواسون غير المتجانسة.

وبما أن معدل الفشل أو دالة الخطورة  $h(t)$  في حالة التوزيعات المنقطعة يمكن تعريفها بالشكل الآتي:

$$h_i(t) = \frac{P(X = i)}{P(X \geq i)} \quad , \quad i = 0, 1, \dots \quad \dots \quad (2 - 66)$$

$$h_i(t) = \frac{P_i}{\sum_{j \geq i} P_j} \quad \dots \quad (2 - 67)$$

وعلى فرض أن دالة الكثافة الإحصائية لتوزيع بواسون هي:

$$P_i = \frac{\lambda^i}{i!} e^{-\lambda} \quad , \quad i = 0, 1, \dots \quad , \quad \lambda > 0 \quad \dots \quad (2 - 68)$$

تكون دالة الخطورة لهذا التوزيع بالشكل الآتي:

$$h_i = (1 + \frac{\lambda}{i+1} + \frac{\lambda^2}{i+2} + \dots)^{-1} \quad , \quad i = 0, 1, \dots \quad \dots \quad (2 - 69)$$

كذلك فإن:

$$\lim_{i \rightarrow \infty} (h_i) = 1 \quad \dots \quad (2 - 70)$$

$$e^{-\lambda} \leq h_i \leq 1$$

## 8-2 تقدير معلمة ودالة المَعَوَلِيَّة لتوزيع بواسون [35] *Estimation of the parameters and the Reliability function for the Poisson distribution*

إن عملية التقدير (*Estimation*) لمعلمات أي مجتمع هي تقريب للخصائص الألية للمجتمع الذي سحبت منه العينات، ويعد التقدير من المسائل المهمة في عملية الاستدلال الإحصائي (*Statistical Inferences*) إذ تكمن أهميته في تقدير معلمات المجتمع الذي يتم عن طريق إحصاءات يتم الحصول عليها من عينة تسحب من المجتمع قيد الدراسة.

وإن المعلوم إن لتوزيع بواسون معلمة ( $\lambda$ ) تمثل المتوسط، ولهذه المعلمة تقدير يتم الحصول عليه باستخدام إحدى رائق التقدير لذلك لا بد من البحث عن الطريقة الملائمة التي يتم فيها تقدير هذه المعلمة و إن ثم تقدير دالة المَعَوَلِيَّة بالإعتماد عليها وإتبار الطريقة الأفضل من هذه الطرائق التي سوف يتم فيها هذا التقدير.

فهناك رائق تقدير عدة منها المعلمية واللا معلمية

وإن من أوسع رائق التقدير الإحصائي المعلمية إنتشاراً والتي وقع إتيار الباحثة عليها هي :

- إحدار بواسون *Poisson regression*.
- الإمكان الأعظم *Maximum Likelihood*.
- ريقة التقلص *Shrinkage Method*.

فضلاً عن ريقة لا معلمية وهي ريقة كابلن - *Kaplan - Meier*.

## 1-8-2 تقدير دالة المَعَوَلِيَّة باستخدام طريقة إحدار بواسون [15]

### *Poisson regression method*

عند دراسة الأنظمة في أي نشأة ناعية نلاحظ أن عدد رات الفشل تتبع عمليات بواسون غير المتجانسة (*NHPP*) وفي هذه العمليات يؤخذ الزمن  $t$  على إعتبار أنه تغيير رتب (*Order Statistic*) أي أن  $t_1 < t_2 < \dots < t_n$  للفترة  $0 < t < t_n$  وعدد رات الفشل تكون أيضاً من



نوع المتغير المرتب أي أنها تبدأ من أول فشل ثم الثاني ثم الثالث ... وهكذا. وهذا يؤشر إلى وجود اتجاه عام في البيانات، وعلى إعتبار أن عدد الفشل  $N(t)$  متغيراً يعتمداً (Dependent variable) يعتمد في قيمه على الزمن  $t$  الذي يمكن عدّه متغيراً مستقلاً (Independent variable) تكون معادلة الإنحدار الخطي بالشكل الآتي:

$$N(t) = \alpha + \beta t_i + \varepsilon_i \quad \dots \quad (2 - 71)$$

حيث ان  $N(t)$  عدد الفشل في الزمن  $t$ .

ولتقدير معلمة توزيع بواسون بهذه الطريقة يتم عن طريق إيجاد علاقة بين المتغيرات عن طريق توزيع بواسون وذلك بالذ اللوغاريتم الطبيعي لدالة بواسون بعد تحويلها إلى معادلة طية فنحصل على:

$$\lambda(t) = \alpha + \beta t_i \quad \dots \quad (2 - 72)$$

لكن لهذا النموذج سلبيات وهي أن التنبؤ الخطي على يمين المعادلة يمكن إفتراضه كقيمة حقيقية وهذا يعني أن بالإمكان أن يأخذ قيم سالبة في حين أن الوسط الحسابي لبواسون في الجهة اليسرى يمثل كمية متوقعة غير سالبة، ويكون الحل البسيط لهذه المشكلة هو بالذ اللوغاريتم للنموذج الخطي. ففي إنحدار بواسون نحن نفترض أن معدل الفشل  $\lambda$  يتم تحديدها من قبل مجموعة  $n$  من المتغيرات ( $t's$ ) وبهذا نستطيع كتابة نموذج اللوغاريتم الخطي بالصيغة الآتية:

$$\log \hat{\lambda} t = \hat{\alpha} + \hat{\beta}_1 t_1 + \dots + \hat{\beta}_n t_n \quad \dots \quad (2 - 73)$$

$$\hat{\lambda} = \exp(\hat{\alpha} + \hat{\beta}_1 t_1 + \dots + \hat{\beta}_n t_n) \quad \dots \quad (2 - 74)$$

$$= \exp(\hat{\alpha}) \exp(\hat{\beta}_1 t_1) \quad \dots \quad (2 - 75)$$

لذلك فإن تقدير معلمة بواسون حسب انحدار بواسون تكون في الشكل الآتي:

$$\hat{\lambda}_{pr} = \exp(\hat{\alpha}) \exp(\hat{\beta}_t) \quad \dots \quad (2 - 76)$$

كذلك يكون تقدير دالة المعولية حسب طريقة إنحدار بواسون بالصيغة الآتية:

$$\hat{R}_{pr} = 1 - \sum_{x=0}^k \frac{(\hat{\lambda}_{pr})^x e^{-\hat{\lambda}_{pr}}}{x!} \quad \dots \quad (2 - 77)$$

## 2-8-2 طريقة الإمكان الأعظم Maximum Likelihood method [38] [30]

تُعد طريقة الإمكان الأعظم واحدة من الطرائق المهمة والشائعة الإستخدام في التقدير كونها تتضمن صفات جيدة منها الثبات والكفاءة العالية والإتساق أحياناً.

إن طريقة الإمكان الأعظم تفترض بشكل أساسي أن العينة هي تمثل كل المجتمع ونحن نختار قيمة المُقدَّر الذي يُعظم دالة الكثافة الإحتمالية (Probability density function) إذ يمكن تعريف دالة الإمكان بما يأتي:

إذا كانت  $x_1, x_2, \dots, x_n$  هي فردات عينة عشوائية بحجم  $n$  سحب من مجتمع له دالة كثافة إحتمالية  $f(x, \lambda)$  فإن دالة الإمكان الأعظم (Maximum Likelihood function) والتي يرمز لها بالرمز  $(L)$  هي الدالة الإحتمالية المشتركة لها أي أن:

$$L = f(x_1, \lambda) \cdot f(x_2, \lambda) \dots f(x_n, \lambda) \quad \dots \quad (2 - 78)$$

$$L = \prod_{i=1}^n f(x_i, \lambda) \quad \dots \quad (2 - 79)$$

وعليه فإن دالة الإمكان الأعظم لتوزيع بواسون تكون بالشكل الآتي:

$$L(x_1, x_2 \dots x_n, \lambda) = \prod_{i=1}^n \frac{\lambda^{x_i} e^{-\lambda}}{x_i!} \quad \dots \quad (2 - 80)$$

$$L(x_1, x_2 \dots x_n, \lambda) = e^{-n\lambda} \lambda^{\sum x_i} \prod_{i=1}^n \frac{1}{x_i!} \quad \dots \quad (2 - 81)$$

ولغرض تقدير دالة الإمكان يجب تحويلها إلى الشكل الخطي وذلك من خلال أخذ اللوغاريتم الطبيعي لطرفي المعادلة

$$\ln L = -n\lambda + \sum x_i \ln \lambda - \sum_{i=1}^n \ln x_i! \quad \dots \quad (2 - 82)$$

ولإيجاد القيمة التقديرية لمعلمة القياس  $\lambda$  (Scale parameter) والتي تجعل دالة الإمكان أكبر ما يمكن، يمكن نجد المشتقة للدالة نسبةً إلى المعلمة

$$\frac{\partial \ln L}{\partial \lambda} = -n + \frac{\sum_{i=1}^n x_i}{\lambda} \quad \dots \quad (2-83)$$

وبمساواة المشتقة للصفر يكون لهذه المعادلة حل واحد فقط:

$$\hat{\lambda} = \frac{\sum_{i=1}^n x_i}{n} = \bar{x} \quad \dots \quad (2-84)$$

وهذه هي النقطة الحرجة الوحيدة، ولأن الإمكان أكبر ما يتلشى أو يقترب إلى الصفر عند ما تقترب المعلمة من الصفر ( $\lambda \rightarrow 0$ ) أو عند ما تقترب من اللانهاية ( $\lambda \rightarrow \infty$ ) لذلك نستنتج أنه قدّر الإمكان أكبر ما يمكن، وللتأكد من كون  $\bar{x}$  هي المقدّر الأكبر نأخذ المشتقة الثانية سنجد أنها سالبة عند تعويض قيمة  $\bar{x}$  فيها.

$$\frac{\partial^2 \ln L}{\partial \lambda^2} = -\frac{\sum_{i=1}^n x_i}{\lambda^2} \quad \dots \quad (2-85)$$

$$= \frac{-\sum_{i=1}^n x_i}{\bar{x}^2} = \frac{-n\bar{x}}{\bar{x}^2} = \frac{-n}{\bar{x}} \quad \dots \quad (2-86)$$

فإذا كانت  $\hat{\lambda}_{MLE}$  هي قدّر الإمكان الأكبر لمعلمة بواسون  $\lambda$  فإن تقدير دالة المعوّلية حسب طريقة الإمكان الأكبر وبالاستناد إلى ما أتت به الثبات (Invariant property) التي تميز هذه الطريقة سوف يأخذ الصيغة الآتية:

$$\hat{R}_{MLE} = 1 - \sum_{x=0}^k \frac{(\hat{\lambda}_{MLE})^n e^{-\hat{\lambda}_{MLE}}}{x!} \quad \dots \quad (2-87)$$

### 3-8-2 طريقة التقلص Shrinkage method [39][43]

تُعدّ طريقة التقلص إحدى طرق التقدير المعتمدة على المعلومات الأولية إذ تعتمد قدرات التقلص على افتراض أن المعلمات المجهولة والمطلوب تقديرها هي تغييرات عشوائية لأي توزيع معين، كما أنها تعتمد على معلمة التقلص  $\theta$  وعلى مجال القبول  $R$ . معلمة التقلص تعني مقدار ثقة الباحث بالمعلومات الأولية، ولعدم وجود دقة وحدة لإتبار قيمة  $\theta$  لذلك فإن كل باحث استطاع

أن يحدد  $\theta$  بيعة وفقاً لقواعد يعتقد أنها كافية. فلقد ذهب بعض الباحثين إلى إتجاه  $\theta$  فاده أن هذه المعلومات الأولية عن المعلمة يمكن أن تكون القيم الافتراضية لهذه المعلومات ولكن هذا الإتجاه غير دقيق حسب رأي البعض الآخر ويمكن اعتماد قدرات  $\theta$  رائق أرى لهذه المعلومات تكون بعيدة عن التحيز في تحديد قيمة المعلمة لتصبح معلومات أولية كطريقة الإمكان الأعم.

لذلك عند توفر معلومات أولية عن دالة المعولية  $(R_0(t))$   $\theta$  ضاف لها قيمة تقديرية  $(\hat{R}(t))$   $\theta$  فترنة معلمة التقلص  $(\theta)$  ون  $\theta$  ج المركبتين يتكون التقدير المقلص لدالة المعولية. إن المقدر الذي أقترحه (Thompson) لمقدرات التقلص يكون بالصيغة الآتية:

$$\hat{R}_{sh}(t) = \theta \hat{R}(t) + (1 - \theta)R_0(t) \quad 0 \leq \theta \leq 1 \quad \dots \quad (2 - 88)$$

إذ أن:

$\theta$ : معامل التقلص (Shrinkage Coefficient).

$\hat{R}_{sh}(t)$ : يمثل قدر دالة المعولية بطريقة التقلص.

$\hat{R}(t)$ : يمثل المقدر غير المتحيز لدالة المعولية.

$R_0(t)$ : يمثل القيمة الأولية لدالة المعولية.

ون الممكن تحديد قيمة  $\theta$  التي تجعل متوسط مربعات الخطأ (MSE) أقل ما يمكن للمقدر  $\hat{R}_{sh}$  بالاعتماد على المقدر غير المتحيز  $\hat{R}$  إذ أن متوسط مربعات الخطأ لمقدر دالة المعولية هو:

$$MSE(\hat{R}_{sh}(t)) = E[\hat{R}_{sh}(t) - R(t)]^2 \quad \dots \quad (2 - 89)$$

$$= E[(\theta \hat{R}(t) + (1 - \theta)R_0(t)) - R(t)]^2 \quad \dots \quad (2 - 90)$$

بإضافة  $\theta R(t)$  ورح للصيغة المذكورة آنفاً وبعد التبسيط نحصل على:

$$MSE(\hat{R}_{sh}(t)) = \theta^2 E\{\hat{R}(t) - R(t)\}^2 + (1 - \theta)^2 \{R_0(t) - R(t)\}^2$$

ولإيجاد قيمة  $\theta$  التي تجعل متوسط مربعات الخطأ للمقدر  $\hat{R}_{sh}(t)$  أقل ما يمكن نجد المشتقة الجزئية للمعادلة المذكورة آنفاً بالنسبة إلى  $\theta$  ، فنحصل على:

$$\frac{\partial MSE(\hat{R}_{sh}(t))}{\partial \theta} = 2\theta E\{\hat{R}(t) - R(t)\}^2 - 2(1 - \theta)(R_0(t) - R(t))^2$$

وبمساواة المشتقة بالصفر نحصل على:

$$2\theta MSE(\hat{R}(t)) - 2(1 - \theta)(R_0(t) - R(t))^2 = 0 \quad \dots \quad (2 - 91)$$

$$\hat{\theta} = (R_0(t) - R(t))^2 / [MSE(\hat{R}(t)) + (R_0(t) - R(t))^2] \dots \quad (2-92)$$

وعليه يكون تقدير دالة المُعَوَّلِيَّة لتوزيع (Poisson) بإستعمال □ريقة التقصص يعطى بالصيغة الآتية:

$$\hat{R}_{sh} = \hat{\theta}\hat{R}(t) + (1 - \hat{\theta})R_0(t) \quad \dots \quad (2 - 93)$$

## 4-8-2 طريقة كابلن - مير Kaplan Meier method [29] [25]

وهي □ن الطرائق اللا□علمية التي اتبعتها كابلن و□ير (Kaplan and Meier (1958)) لتقدير دالة المُعَوَّلِيَّة فهناك □ريقتان الأولى يتم فيها تقدير دالة الخطورة التجميعية  $H(t)$  عن □ريق تقدير دالة الخطورة  $h(t)$  و□نها التو□ل إلى دالة المُعَوَّلِيَّة، □ا الطريقة الثانية إستخدام دالة الكثافة التجميعية أو دالة توزيع الفشل لتقدير دالة المُعَوَّلِيَّة ودالة الخطورة.

### 1- أسلوب كابلن - مير الأول

- ترتيب أوقات الفشل (عدد العطلات) تصاعدياً وإعطاء كل فشل رتبة (Rank).
- حساب دالة الخطورة  $(h(t))$ ، حيث أن دالة الخطورة هي عبارة عن عدد العطلات □قسوم على

$$\square \text{قدار الفترة الز□نية لل□تبار } h(t) = \frac{k}{n-i+1}$$

$k$  تمثل عدد العطلات

$i$  الرتبة

$n$  حجم العينة

- حساب  $H(t)$  إذ أن:  $H(t) = [h(t_1) + h(t_2) + \dots + h(t_n)]$
- حساب دالة المُعَوَّلِيَّة  $R_i(t)$ ، إذ أن:  $R_i(t) = \exp(-H_i(t))$ ،  $i = 1, 2, \dots$

### 2- أسلوب كابلن - مير الثاني

- تقدير  $F(t)$  التي يعتمد تقديرها على البيانات إذ أن:

$$F(t) = \frac{i-0.5}{n} \text{ أو } F(t) = \frac{i}{n} \text{ وهي □اتسمى بدالة الكثافة التراكمية (Symmetrical CDF)}$$

أو  $F(t) = \frac{i}{n+1}$  وهي  $\square$  تسمى برتبة الوسط الحسابي (Mean Rank) أو  $F(t) = \frac{(i-0.3)}{n+0.4}$  وهي  $\square$  تسمى برتبة الوسيط (Median Rank).

• يمكن حساب دالة الخطورة  $\square$  ن دالة الفشل التجميعية حيث أن:

$$h_i(t) = \frac{F_{(t+1)} - F_t}{1 - F_t} \quad \dots \quad (2 - 94)$$

• ويمكن أيضاً  $\square$  نها حساب دالة المَعَوَّلِيَّة التي تساوي:

$$R_i(t) = 1 - F_i(t) \quad \dots \quad (2 - 95)$$

• ومنها نحصل على  $\hat{R}(t)$  بطريقة كابلن - مير:

$$\hat{R}_{(i+1)} = \prod_{i=1}^n R_{(i+1)}(t) \cdot \hat{R}_i \quad \dots \quad (2 - 96)$$

إذ أن قيمة دالة المَعَوَّلِيَّة المقدرة الأولى لكابلن- $\square$  ير.

قيمة دالة المَعَوَّلِيَّة المقدرة اللاحقة لكابلن- $\square$  ير.

## 9-2 أسلوب المقارنة بين طرائق التقدير

والآن وبعد الانتهاء  $\square$  ن استعراض  $\square$  رائق التقدير لمعلمة التوزيع ودالة المَعَوَّلِيَّة، يمكن المقارنة بين الطرائق لمعرفة الأفضل  $\square$  نها وسوف يتم إعتقاد  $\square$  وشر إحصائي وهو  $\square$  قياس نسبي  $\square$  هم يدعى  $\square$  توسط  $\square$  ربع الخطأ (Mean squared error) والذي يمكن إيجاده وفق الصيغة الآتية:

$$MSE(\hat{R}(t)) = \frac{1}{L} \sum_{i=1}^L (\hat{R}_i(t) - R(t))^2 \quad , \quad i = 1, 2, \dots, L \quad \dots \quad (2 - 97)$$

حيث أن  $L$  عدد التكرارات (Replications) لكل تجربة

$\square$  قدر  $R(t)$  حسب الأسلوب المستخدم في التقدير.

# الفصل الثالث الجانب التجريبي

## الجانب التجريبي

## 1-3 تمهيد Preface

في هذا الفصل سنقوم باستخدام أسلوب المحاكاة لتوليد بيانات تتوزع توزيع بواسون ثم نقوم بتقدير دالة المُعَوَّلِيَّة بالطرائق التي ذكرت في الفصل الثاني ثم المقارنة بين هذه الطرائق، وقد تم توظيف متوسط مربعات الخطأ ( $MSE$ ) كمقياس إحصائي من أجل المقارنة بين أفضلية المقدرات. إذ شمل هذا الفصل على بعض المفاهيم العامة للمحاكاة وكذلك وصف لتجربة المحاكاة الخاصة بالبحث من حيث أحجام العينات المُولدة وكذلك نماذج الدوال الإفتراضية المستعملة وعرض نتائج تجربة المحاكاة التي تم الحصول عليها ووصف البرنامج الذي تم كتابته من قبل الباحثة.

## 2-3 المحاكاة (Simulation)

إن المحاكاة عبارة عن إمتداد طبيعي ومنطقي للنماذج الرياضية والتحليلية، حيث يُعدُّ أسلوب المحاكاة لغة العصر لأنه يساعد الباحثين في الدراسة. فالمحاكاة تشبه مختبر الباحثين حيث يقوم الباحث بتوليد بيانات (مشاهدات) بعد تصميم وبناء نموذج لدراسة ظاهرة معينة، فهي مفيدة جداً في حالة عدم توفر البيانات المطلوبة أو إستحالة الحصول عليها أو تكون مكلفة، حيث يمكن الحصول على بيانات قريبة من الواقع قيد الدراسة. [5]

ومن المبادئ الأساسية للمحاكاة بإستخدام الحاسبة هي وضع برنامج يمثل أو يقلد سلوك العملية الحقيقية بشكل مقارب للواقع الحقيقي قدر الإمكان، وغالباً ما يكون هذا الواقع معقداً جداً لتمثيله أو تقليده بصورة متقنة في برنامج الحاسبة وعلى الرغم من ذلك فإن أسلوب المحاكاة يمكن أن يعطي معلومات مفيدة عن الواقع الحقيقي الذي يقلده، ونماذج المحاكاة الأكثر مشابهة للواقع الحقيقي تكون أكثر دقة في النتائج والمعلومات المستخلصة منها. [4]

إن أول مراحل إستخدام أسلوب المحاكاة هو توليد مشاهدات، كما إن أي تجربة محاكاة ما هي إلا عبارة عن نوع معين من أنواع المعاينة. إذ تُسحب هذه العينة من المجتمع الإفتراضي الممثل للظاهرة المدروسة بدلاً من أن تُسحب من المجتمع الحقيقي.

وغالباً ما يُستعمل أسلوب المحاكاة لملاحظة التغيرات التي طرأت على صياغة المشكلة عند تنفيذها عملياً، فضلاً عن عدّه أسلوباً للإختبار قبل تطبيق التجربة على بيانات واقعية.



وهناك طرائق مختلفة للمحاكاة منها: الطريقة التناظرية (*Analog Method*) ، والطريقة المختلطة (*Mixed Method*) ، وطريقة مونت كارلو (*Monte Carlo Method*) ، وقد تم اعتماد طريقة مونت كارلو كونها تُعد من أشهر الطرائق وأكثرها إستعمالاً. إذ إن هذه الطريقة تتم بواسطة أساليب العينات التي تؤخذ من مجتمع نظري يحاكي المجتمع الحقيقي إذ يتم صياغة الأرقام العشوائية، وتمتاز هذه الطريقة بالمرونة إذ تعطي طريقة مونت كارلو القدرة على التجريب والإختبار عن طريق تكرار العملية لمرات عديدة وتفسير المدخلات الخاصة بعملية التقدير في كل مرة، وتمتاز كذلك بالعشوائية إذ إن تتابع الأرقام العشوائية في التجربة الأولى يكون مستقلاً عن تتابع الأرقام العشوائية في التجربة الثانية وهكذا. [12]

### 3-2-1 وصف مراحل تجربة المحاكاة

تم كتابة برنامج المحاكاة المرفق في الملحق بإستعمال البرنامج (*R 3.3.2*) وتتضمن صياغة إنموذج المحاكاة أربعة مراحل أساسية ومهمة لتقدير معلمة القياس ودالة المُعَوَّلِيَّة لتوزيع بواسون وهي على التوالي:

#### المرحلة الأولى: (مرحلة تعيين القيم الافتراضية للمعلمة $\lambda$ )

تُعد هذه المرحلة من المراحل المهمة والأساسية التي تعتمد عليها المراحل اللاحقة، إذ يتم تعيين قيم المعلمة الافتراضية (الحقيقية) وكما يأتي:

#### أولاً: تحديد القيم الافتراضية لمعلمة القياس

تم إختيار قيم إفتراضية لمعلمة القياس لتوزيع بواسون وبإفتراض قيمة لمعلمة  $\lambda$ ، وقد تم تشكيل ستة نماذج وكما مبين بالجدول (1-3):

الجدول (1-3) القيم الافتراضية للمعلمة ( $\lambda$ )

Model	1	2	3	4	5	6
$\lambda$	0.1	0.11	0.12	0.13	0.14	0.15

#### ثانياً: إختيار حجم العينة $n$

تم إختيار حجوم مختلفة للعينة بشكل يتناسب مع معرفة مدى تأثير حجم العينة على دقة وكفاءة النتائج المستحصلة من طرائق التقدير المستخدمة في هذه الدراسة وتم أخذ حجمي عينة صغيرة هما ( $n=10,20$ )، وحجمي عينة متوسطة هما ( $n=30,40$ ) وكذلك حجمي عينة كبيرة هما ( $n=50,100$ ).

ثالثاً: إختيار تكرار التجربة

تم إختيار تكرار لهذه التجارب مساوياً إلى (L=5000) لكل تجربة.

رابعاً: تعيين عدد العطلات

تم أخذ خمس قيم للعطلات التي يتم عن طريقها تقدير دالة المُعَوَّلِيَّة لتوزيع بواسون وهي (k=1,2,3,4,5) عطل.

**المرحلة الثانية: (مرحلة توليد البيانات)**

وهي مرحلة إختيار القيم الإفتراضية، إذ تُعَدُّ من المراحل المهمة التي تعتمد المراحل الأخرى عليها، وفي هذه المرحلة يتم توليد المتغير العشوائي الذي يتبع توزيع بواسون ذو المعلمة الواحدة وفق طريقة مونت كارلو كما يأتي:

1- ليكن X متغير عشوائي يتبع توزيع بواسون بالمعلمة  $\lambda$  بدالة كتلة إحتتمالية:

$$P_j = P(X = x_j) = \frac{\lambda^{x_j}}{x_j!} e^{-\lambda} \quad j = 0,1,2, \dots \quad (3-1)$$

2- يتم توليد الأعداد العشوائية التي تتبع التوزيع المنتظم (Uniform Distribution) المستمر المعرف على الفترة (0,1).

3- فإن قيمة المتغير العشوائي تكون (X = x\_j) إذا كان:

$$\sum_{j=0}^{i-1} P_j \leq U < \sum_{j=0}^i P_j \quad , i = 0,1,2, \dots n \quad \dots \quad (3-2)$$

**المرحلة الثالثة: (مرحلة إيجاد المُقَدَّرَات)**

في هذه المرحلة يتم تقدير دالة المُعَوَّلِيَّة لتوزيع بواسون R(k) وكالاتي:

$$\hat{R}(k) = \frac{\sum_{i=1}^L \hat{R}_j(k)}{L} \quad \dots \quad (3-3)$$

إذ أن  $\hat{R}_j(k)$  مقدّر دالة المعولية R(k) بحسب الأسلوب المستخدم في التقدير.

المرحلة الرابعة: (مرحلة المقارنة)

هي مرحلة المقارنة بين المقدّرات التي تم ايجادها في المرحلة الثالثة، بإستخدام المقياس الإحصائي متوسط مربعات الخطأ ( $MSE$ ) للمقدّر  $\hat{R}(k)$  وهو عبارة عن التباين مضافاً إليه مربع التحيز وهو مؤشر عام للمقارنة بين كفاءة المقدّرات وحسب المعادلة (2-36).

2-2-3 نتائج المحاكاة

يتم عرض وتحليل نتائج محاكاة طرائق التقدير (إنحدار بواسون ( $Pr$ ) والإمكان الأعظم ( $ML$ ) والتقلص ( $Sh$ ) وكابلن ( $KM$ )) وحسب المعادلات (2-77) و(2-87) و(2-93) و(2-96) على التوالي، والجداول (2-3) و(3-3) و(4-3) و(5-3) و(6-3) و(7-3) تبين تقديرات دالة المُعَوَّلِيَّة لجميع أحجام العينات (10,20,30,40,50,100) ولجميع التجارب:

الجدول (2-3) التجربة الأولى تقدير دالة المُعَوَّلِيَّة عندما  $\lambda=0.1$

$n$	$K$	$R_{Real}$	$\hat{R}_{Pr}$	$\hat{R}_{ML}$	$\hat{R}_{Sh}$	$\hat{R}_{KM}$
10	1	0.95956	0.99526	0.93686	0.94049	0.96676
	2	0.87531	0.91771	0.84591	0.85061	0.88486
	3	0.73489	0.79199	0.69079	0.69784	0.74749
	4	0.55973	0.62163	0.50083	0.51025	0.57938
	5	0.38385	0.45315	0.31755	0.32815	0.40708
20	1	0.95956	0.98296	0.93746	0.95418	0.96886
	2	0.87531	0.91171	0.84021	0.84723	0.88651
	3	0.73489	0.77709	0.69399	0.70217	0.74869
	4	0.55973	0.61103	0.50973	0.51973	0.59043
	5	0.38385	0.44355	0.32545	0.33713	0.43055
30	1	0.95956	0.97846	0.97066	0.96188	0.97524
	2	0.87531	0.90051	0.89941	0.88023	0.89951
	3	0.73489	0.77939	0.76839	0.74169	0.78609
	4	0.55973	0.61733	0.60633	0.56915	0.61953
	5	0.38385	0.44735	0.43635	0.39445	0.44535
40	1	0.95956	0.9196	0.95056	0.95784	0.98034
	2	0.87531	0.77454	0.86481	0.87329	0.90751
	3	0.73489	0.58093	0.72159	0.73231	0.78954
	4	0.55973	0.40261	0.53033	0.55393	0.63073
	5	0.38385	0.2936	0.33925	0.37501	0.46375
50	1	0.95956	0.96656	0.96776	0.96120	0.98576
	2	0.87531	0.88456	0.88421	0.87717	0.91379
	3	0.73489	0.74589	0.74502	0.73699	0.80071
	4	0.55973	0.57811	0.57521	0.56290	0.63811
	5	0.38385	0.40611	0.40343	0.38784	0.46611

تكلمة الجدول (3-2)

$n$	$K$	$R_{Real}$	$\hat{R}_{Pr}$	$\hat{R}_{ML}$	$\hat{R}_{Sh}$	$\hat{R}_{KM}$
100	1	0.95956	0.97341	0.95742	0.95989	0.98026
	2	0.87531	0.88219	0.87124	0.87003	0.90292
	3	0.73489	0.73873	0.72757	0.72581	0.77837
	4	0.55973	0.56897	0.54720	0.54591	0.61469
	5	0.38385	0.41079	0.36623	0.36634	0.44478

الجدول (3-3) التجربة الثانية تقدير دالة المَعَوْلِيَّة عندما  $\lambda=0.11$ 

$n$	$K$	$R_{Real}$	$\hat{R}_{Pr}$	$\hat{R}_{ML}$	$\hat{R}_{Sh}$	$\hat{R}_{KM}$
10	1	0.97342	0.99652	0.95332	0.95653	0.97921
	2	0.91155	0.93985	0.88625	0.89029	0.91829
	3	0.79814	0.83594	0.76334	0.76890	0.80814
	4	0.64221	0.68781	0.59961	0.60641	0.65541
	5	0.47066	0.52696	0.41736	0.42588	0.49286
20	1	0.97342	0.99122	0.95692	0.96022	0.98312
	2	0.91155	0.93685	0.88755	0.89235	0.92275
	3	0.79814	0.82854	0.76904	0.77486	0.81194
	4	0.64221	0.67651	0.60921	0.61581	0.66021
	5	0.47066	0.51466	0.42796	0.43651	0.49456
30	1	0.97342	0.99522	0.98422	0.97568	0.99552
	2	0.91155	0.94455	0.93355	0.91605	0.94485
	3	0.79814	0.83474	0.82374	0.80336	0.83864
	4	0.64221	0.68311	0.67211	0.64828	0.67666
	5	0.47066	0.51796	0.50696	0.47802	0.52066
40	1	0.97342	0.94429	0.96502	0.97182	0.99782
	2	0.91155	0.82628	0.90165	0.90965	0.94928
	3	0.79814	0.65517	0.78564	0.79572	0.84364
	4	0.64221	0.46761	0.62551	0.63894	0.69786
	5	0.47066	0.30473	0.44806	0.46622	0.53186
50	1	0.97342	0.97852	0.98063	0.97494	0.99901
	2	0.91155	0.91819	0.91989	0.91329	0.91552
	3	0.79814	0.80731	0.80721	0.80003	0.84831
	4	0.64221	0.65521	0.65442	0.64472	0.70223
	5	0.47066	0.48917	0.48820	0.47425	0.54151
100	1	0.97342	0.98606	0.97286	0.97268	0.99588
	2	0.91155	0.91771	0.91030	0.90885	0.93479
	3	0.79814	0.79630	0.79374	0.79252	0.83428
	4	0.64221	0.63721	0.63532	0.63398	0.68186
	5	0.47066	0.47304	0.45999	0.45845	0.51887

الجدول (4-3) التجربة الثالثة تقدير دالة المعَوْلية عندما  $\lambda=0.12$

$n$	$K$	$R_{Real}$	$\hat{R}_{Pr}$	$\hat{R}_{ML}$	$\hat{R}_{Sh}$	$\hat{R}_{KM}$
10	1	0.98264	0.99988	0.96374	0.96676	0.98766
	2	0.93811	0.96131	0.91771	0.92094	0.94503
	3	0.84872	0.87732	0.82312	0.82721	0.85671
	4	0.71595	0.75065	0.68425	0.68932	0.72447
	5	0.55411	0.60121	0.51231	0.51705	0.56952
20	1	0.98264	0.99344	0.97314	0.97504	0.99164
	2	0.93811	0.95651	0.92081	0.92424	0.94851
	3	0.84872	0.87032	0.82842	0.83248	0.86002
	4	0.71595	0.74365	0.68955	0.69483	0.73165
	5	0.55411	0.59091	0.51861	0.52571	0.57112
30	1	0.98264	0.99821	0.99144	0.98450	0.99587
	2	0.93811	0.96112	0.95521	0.94051	0.96011
	3	0.84872	0.87742	0.86642	0.85236	0.87529
	4	0.71595	0.74935	0.73835	0.72053	0.74699
	5	0.55411	0.59681	0.58581	0.56054	0.59581
40	1	0.98264	0.96217	0.97494	0.98118	0.99594
	2	0.93811	0.86886	0.92881	0.93624	0.96871
	3	0.84872	0.73796	0.83872	0.84680	0.89082
	4	0.71595	0.54033	0.70155	0.71315	0.76765
	5	0.55411	0.36687	0.53841	0.55104	0.60631
50	1	0.98264	0.98794	0.98925	0.98404	0.99354
	2	0.93811	0.94544	0.94504	0.93948	0.97544
	3	0.84872	0.85765	0.85665	0.85038	0.88961
	4	0.71595	0.72515	0.72420	0.71768	0.76687
	5	0.55411	0.56521	0.65284	0.57392	0.61521
100	1	0.98264	0.99326	0.98339	0.98319	0.99789
	2	0.93811	0.94331	0.93713	0.93694	0.96435
	3	0.84872	0.84835	0.84687	0.84605	0.87886
	4	0.71595	0.70533	0.71111	0.71064	0.75126
	5	0.55411	0.54691	0.56393	0.54838	0.59454

الجدول (5-3) التجربة الرابعة تقدير دالة المعَوْلية عندما  $\lambda=0.13$

$n$	$K$	$R_{Real}$	$\hat{R}_{Pr}$	$\hat{R}_{ML}$	$\hat{R}_{Sh}$	$\hat{R}_{KM}$
10	1	0.98875	0.99556	0.97325	0.97573	0.99326
	2	0.95706	0.97926	0.93786	0.94093	0.96259
	3	0.88841	0.91281	0.86701	0.87043	0.89441
	4	0.77684	0.80914	0.74754	0.75222	0.78611
	5	0.63181	0.66911	0.59751	0.60298	0.64503
20	1	0.98875	0.99835	0.98045	0.98211	0.99555
	2	0.95706	0.96746	0.94796	0.94978	0.96512
	3	0.88841	0.90541	0.87271	0.87585	0.89781
	4	0.77684	0.79824	0.75674	0.76076	0.78825
	5	0.63181	0.66651	0.59841	0.60508	0.64581

تكلمة الجدول (3-5)

$n$	$K$	$R_{Real}$	$\hat{R}_{Pr}$	$\hat{R}_{ML}$	$\hat{R}_{Sh}$	$\hat{R}_{KM}$
30	1	0.98875	0.99977	0.99575	0.99025	0.99632
	2	0.95706	0.97626	0.96526	0.95880	0.97629
	3	0.88841	0.91151	0.90051	0.89093	0.91174
	4	0.77684	0.80614	0.79514	0.78060	0.80622
	5	0.63181	0.66741	0.65641	0.63682	0.66741
40	1	0.98875	0.97348	0.98325	0.98773	0.99794
	2	0.95706	0.90011	0.95031	0.95579	0.97649
	3	0.88841	0.77209	0.88031	0.88687	0.92294
	4	0.77684	0.60593	0.76673	0.77490	0.81914
	5	0.63181	0.43362	0.61911	0.62934	0.67831
50	1	0.98875	0.99361	0.99358	0.98979	0.99557
	2	0.95706	0.96251	0.96311	0.95834	0.98611
	3	0.88841	0.89477	0.89552	0.88991	0.92247
	4	0.77684	0.78654	0.78486	0.77852	0.82593
	5	0.63181	0.64211	0.64087	0.63369	0.68690
100	1	0.98875	0.99711	0.99018	0.99005	0.99772
	2	0.95706	0.96190	0.95766	0.95749	0.97818
	3	0.88841	0.88371	0.88762	0.88721	0.91442
	4	0.77684	0.76500	0.77405	0.77325	0.80915
	5	0.63181	0.61882	0.62556	0.62469	0.66801

الجدول (3-6) التجربة الخامسة تقدير دالة المعولية عندما  $\lambda=0.14$

$n$	$K$	$R_{Real}$	$\hat{R}_{Pr}$	$\hat{R}_{ML}$	$\hat{R}_{Sh}$	$\hat{R}_{KM}$
10	1	0.99281	0.99745	0.98311	0.98465	0.99606
	2	0.97075	0.98915	0.95535	0.95781	0.97549
	3	0.91931	0.93951	0.90211	0.90485	0.92485
	4	0.82926	0.85606	0.80546	0.80926	0.83607
	5	0.70321	0.73531	0.67411	0.67876	0.71098
20	1	0.99281	0.99875	0.98511	0.98664	0.99711
	2	0.97075	0.98045	0.96235	0.96403	0.97701
	3	0.91931	0.92971	0.91021	0.91202	0.92821
	4	0.82926	0.84066	0.81916	0.82118	0.83946
	5	0.70321	0.72181	0.68591	0.68937	0.71382
30	1	0.99281	0.99991	0.99781	0.99390	0.99792
	2	0.97075	0.98915	0.97815	0.97233	0.98921
	3	0.91931	0.93831	0.92731	0.92100	0.93885
	4	0.82926	0.84956	0.83856	0.83122	0.85028
	5	0.70321	0.72971	0.71871	0.70641	0.73285
40	1	0.99281	0.98078	0.98981	0.99228	0.99821
	2	0.97075	0.92472	0.96579	0.96984	0.98117
	3	0.91931	0.81907	0.91171	0.91786	0.94105
	4	0.82926	0.66875	0.82036	0.82756	0.84448
	5	0.70321	0.46935	0.69391	0.70143	0.73527

تكملة الجدول (3-6)

$n$	$K$	$R_{Real}$	$\hat{R}_{Pr}$	$\hat{R}_{ML}$	$\hat{R}_{Sh}$	$\hat{R}_{KM}$
50	1	0.99281	0.99509	0.99621	0.99356	0.99784
	2	0.97075	0.97521	0.97481	0.97164	0.99119
	3	0.91931	0.92596	0.92496	0.92051	0.94996
	4	0.82926	0.83726	0.83646	0.83078	0.87006
	5	0.70321	0.71181	0.71122	0.70489	0.75407
100	1	0.99281	0.99936	0.99535	0.99516	0.99842
	2	0.97075	0.97659	0.97212	0.97196	0.98772
	3	0.91931	0.91505	0.91982	0.91982	0.94126
	4	0.82926	0.81451	0.82812	0.82812	0.85231
	5	0.70321	0.67696	0.70025	0.69965	0.73304

الجدول (7-3) التجربة السادسة تقدير دالة المَعْوَلِيَّة عندما  $\lambda=0.15$ 

$n$	$K$	$R_{Real}$	$\hat{R}_{Pr}$	$\hat{R}_{ML}$	$\hat{R}_{Sh}$	$\hat{R}_{KM}$
10	1	0.99551	0.99821	0.98781	0.98903	0.99839
	2	0.98051	0.99171	0.97231	0.97361	0.98414
	3	0.94332	0.95542	0.93422	0.93567	0.94792
	4	0.87345	0.89265	0.85725	0.85984	0.87918
	5	0.76864	0.79094	0.74934	0.75242	0.77554
20	1	0.99551	0.99903	0.99041	0.99142	0.99781
	2	0.98051	0.98911	0.97321	0.97466	0.98514
	3	0.94332	0.95262	0.93532	0.93692	0.95017
	4	0.87345	0.88485	0.86335	0.86537	0.88351
	5	0.76864	0.78514	0.75344	0.75648	0.77895
30	1	0.99551	0.99994	0.99881	0.99626	0.99872
	2	0.98051	0.99561	0.98461	0.98142	0.99561
	3	0.94332	0.96052	0.94952	0.94466	0.96052
	4	0.87345	0.89435	0.88335	0.87553	0.89435
	5	0.76864	0.78964	0.77864	0.77074	0.78964
40	1	0.99551	0.98584	0.99451	0.99538	0.99883
	2	0.98051	0.94354	0.97716	0.97992	0.98681
	3	0.94332	0.85647	0.93777	0.94229	0.95172
	4	0.87345	0.72691	0.86469	0.87178	0.88555
	5	0.76864	0.56531	0.75963	0.76692	0.78084
50	1	0.99551	0.99749	0.99649	0.99577	0.99881
	2	0.98051	0.98304	0.98204	0.98088	0.99135
	3	0.94332	0.94794	0.94694	0.94412	0.96188
	4	0.87345	0.88118	0.87918	0.87467	0.90118
	5	0.76864	0.77854	0.77754	0.77051	0.80854
100	1	0.99551	0.99809	0.99856	0.99854	0.99900
	2	0.98051	0.98549	0.98274	0.98299	0.99355
	3	0.94332	0.93926	0.94545	0.94544	0.95921
	4	0.87345	0.86026	0.87391	0.87378	0.89319
	5	0.76864	0.74562	0.76753	0.76723	0.79063

والجداول (3-8) و(3-9) و(3-10) و(3-11) و(3-12) و(3-13) تبين متوسط مربعات الخطأ لطرائق التقدير (إنحدار بواسون  $(Pr)$  والإمكان الأعظم  $(ML)$  والتقلص  $(Sh)$  وكابلن  $(KM)$ ) لجميع أحجام العينات (10,20,30,40,50,100) ولجميع التجارب:

الجدول (3-8) متوسط مربعات الخطأ لطرائق التقدير للتجربة الأولى  $\lambda=0.1$

$n$	$K$	$Pr$	$ML$	$Sh$	$KM$
10	1	0.003274	0.001515	0.001363	0.003069
	2	0.003797	0.001864	0.001609	0.003552
	3	0.005260	0.002944	0.002372	0.004926
	4	0.005831	0.004469	0.003447	0.005469
	5	0.006802	0.005395	0.004101	0.006395
20	1	0.002488	0.001488	0.001028	0.002086
	2	0.003232	0.002232	0.001788	0.002125
	3	0.003672	0.002672	0.002070	0.002190
	4	0.004501	0.003511	0.002611	0.002942
	5	0.005410	0.004410	0.003182	0.005214
30	1	0.002357	0.001123	0.001005	0.002245
	2	0.002635	0.001580	0.001024	0.002585
	3	0.003980	0.002122	0.001046	0.004621
	4	0.005317	0.003171	0.001088	0.005576
	5	0.006032	0.003756	0.001112	0.005782
40	1	0.002125	0.001081	0.001002	0.002431
	2	0.002161	0.001110	0.001004	0.003036
	3	0.002240	0.001176	0.001006	0.004986
	4	0.002998	0.001864	0.001033	0.007041
	5	0.004190	0.002989	0.001078	0.008384
50	1	0.002068	0.001067	0.001002	0.002756
	2	0.002111	0.001079	0.001003	0.003582
	3	0.002151	0.001102	0.001004	0.006503
	4	0.002386	0.001239	0.001010	0.008347
	5	0.002555	0.001383	0.001015	0.008982
100	1	0.002463	0.001255	0.001080	0.002518
	2	0.002788	0.001573	0.001286	0.002977
	3	0.003461	0.002004	0.001500	0.004646
	4	0.004207	0.002849	0.001836	0.005876
	5	0.004999	0.003587	0.002098	0.006953

الجدول (3-9) متوسط مربعات الخطأ لطرائق التقدير للتجربة الثانية  $\lambda=0.11$

$n$	$K$	$Pr$	$ML$	$Sh$	$KM$
10	1	0.002533	0.001404	0.001285	0.002404
	2	0.002800	0.001640	0.001451	0.002640
	3	0.003428	0.002211	0.001854	0.003211
	4	0.004079	0.002814	0.002280	0.003814
	5	0.005169	0.003840	0.003004	0.004840



تكمة الجدول (3-9)

20	1	0.002272	0.001272	0.001174	0.002094
	2	0.002576	0.001576	0.001368	0.002125
	3	0.002846	0.001846	0.001541	0.002190
	4	0.003089	0.002089	0.001696	0.002324
	5	0.003823	0.002823	0.002166	0.002571
30	1	0.002255	0.001116	0.001005	0.002488
	2	0.002389	0.001484	0.001020	0.003108
	3	0.002639	0.001655	0.001027	0.003640
	4	0.003022	0.001894	0.001037	0.003187
	5	0.003237	0.002317	0.001054	0.004511
40	1	0.002112	0.001070	0.001002	0.002595
	2	0.002146	0.001098	0.001003	0.003423
	3	0.002216	0.001156	0.001005	0.004070
	4	0.002357	0.001278	0.001010	0.005098
	5	0.002615	0.001510	0.001019	0.005745
50	1	0.002040	0.001051	0.001002	0.002697
	2	0.002063	0.001069	0.001003	0.002027
	3	0.002109	0.001082	0.001003	0.004649
	4	0.002204	0.001149	0.001006	0.005761
	5	0.002392	0.001307	0.001012	0.007205
100	1	0.002287	0.001183	0.001093	0.002456
	2	0.002535	0.001374	0.001169	0.002665
	3	0.002788	0.001591	0.001286	0.003553
	4	0.003081	0.001845	0.001406	0.004038
	5	0.003648	0.002361	0.001651	0.004973

الجدول (3-10) متوسط مربعات الخطأ لطرائق التقدير للتجربة الثالثة  $\lambda=0.12$

<i>n</i>	<i>K</i>	<i>Pr</i>	<i>ML</i>	<i>Sh</i>	<i>KM</i>
10	1	0.002479	0.001357	0.001252	0.002357
	2	0.002542	0.001412	0.001290	0.002412
	3	0.002817	0.001655	0.001462	0.002655
	4	0.003204	0.002004	0.001709	0.003004
	5	0.004218	0.002944	0.002372	0.003944
20	1	0.002090	0.001090	0.001057	0.002081
	2	0.002295	0.001295	0.001189	0.002110
	3	0.002412	0.001412	0.001263	0.002127
	4	0.002696	0.001696	0.001446	0.002246
	5	0.003260	0.002260	0.001806	0.002289
30	1	0.002091	0.001077	0.001003	0.002432
	2	0.002229	0.001144	0.001006	0.002488
	3	0.002323	0.001313	0.001013	0.002705
	4	0.002515	0.001501	0.001021	0.002963
	5	0.003023	0.002004	0.001041	0.003738

تكلمة الجدول (10-3)

40	1	0.002090	0.001059	0.001002	0.002176
	2	0.002129	0.001084	0.001003	0.002942
	3	0.002148	0.001102	0.001003	0.003772
	4	0.002275	0.001207	0.001007	0.004672
	5	0.002320	0.001246	0.001009	0.004724
50	1	0.002043	0.001043	0.001001	0.002567
	2	0.002076	0.001049	0.001002	0.003500
	3	0.002104	0.001062	0.001002	0.003780
	4	0.002110	0.001068	0.001002	0.004726
	5	0.002153	0.010749	0.001393	0.005895
100	1	0.002221	0.001126	0.001063	0.002323
	2	0.002315	0.001197	0.001098	0.002691
	3	0.002462	0.001309	0.001149	0.003009
	4	0.002681	0.001496	0.001237	0.003523
	5	0.003156	0.003842	0.001524	0.004119

الجدول (3-11) متوسط مربعات الخطأ لطرائق التقدير للتجربة الرابعة  $\lambda=0.13$

<i>n</i>	<i>K</i>	<i>Pr</i>	<i>ML</i>	<i>Sh</i>	<i>KM</i>
10	1	0.002342	0.001240	0.001169	0.002240
	2	0.002492	0.001368	0.001260	0.002368
	3	0.002595	0.001457	0.001323	0.002457
	4	0.003043	0.001858	0.001605	0.002858
	5	0.003391	0.002176	0.001830	0.003176
20	1	0.002272	0.001272	0.001174	0.002094
	2	0.002576	0.001576	0.001368	0.002125
	3	0.002846	0.001846	0.001541	0.002190
	4	0.003089	0.002089	0.001696	0.002324
	5	0.003823	0.002823	0.002166	0.002571
30	1	0.002124	0.001049	0.001002	0.002333
	2	0.002368	0.001067	0.001003	0.002369
	3	0.002533	0.001146	0.001006	0.002544
	4	0.002858	0.001334	0.001014	0.002863
	5	0.003267	0.001605	0.001025	0.003267
40	1	0.002059	0.001030	0.001001	0.002146
	2	0.002080	0.001045	0.001001	0.002377
	3	0.002106	0.001065	0.001002	0.003192
	4	0.002151	0.001102	0.001003	0.003789
	5	0.002222	0.001161	0.001006	0.004162
50	1	0.002037	0.001023	0.001001	0.002474
	2	0.002045	0.001036	0.001001	0.002921
	3	0.002058	0.001050	0.001002	0.003250
	4	0.002121	0.001064	0.001002	0.004539
	5	0.002134	0.001082	0.001003	0.005181

تكلمة الجدول (3-11)

<i>n</i>	<i>K</i>	<i>Pr</i>	<i>ML</i>	<i>Sh</i>	<i>KM</i>
100	1	0.002167	0.001082	0.001043	0.002248
	2	0.002214	0.001121	0.001063	0.002421
	3	0.002308	0.001194	0.001098	0.002707
	4	0.002516	0.001353	0.001177	0.003237
	5	0.002826	0.001628	0.001315	0.003597

الجدول (3-12) متوسط مربعات الخطأ لطرائق التقدير للتجربة الخامسة  $\lambda=0.14$

<i>n</i>	<i>K</i>	<i>Pr</i>	<i>ML</i>	<i>Sh</i>	<i>KM</i>
10	1	0.002161	0.001094	0.001066	0.002094
	2	0.002338	0.001237	0.001167	0.002237
	3	0.002408	0.001295	0.001208	0.002295
	4	0.002718	0.001566	0.001399	0.002566
	5	0.003030	0.001846	0.001597	0.002846
20	1	0.002059	0.001059	0.001037	0.002018
	2	0.002070	0.001070	0.001045	0.002039
	3	0.002092	0.001082	0.001052	0.002079
	4	0.002102	0.001102	0.001065	0.002104
	5	0.002299	0.001299	0.001191	0.002112
30	1	0.002056	0.001025	0.001001	0.002266
	2	0.002068	0.001054	0.001002	0.002340
	3	0.002081	0.001064	0.001002	0.002382
	4	0.002092	0.001086	0.001003	0.002441
	5	0.002162	0.001240	0.001010	0.002878
40	1	0.002027	0.001009	0.001000	0.002078
	2	0.002051	0.001024	0.001000	0.002108
	3	0.002076	0.001057	0.001002	0.002473
	4	0.002090	0.001079	0.001002	0.002231
	5	0.002132	0.001086	0.001003	0.003028
50	1	0.002012	0.001011	0.001000	0.002421
	2	0.002033	0.001016	0.001000	0.002472
	3	0.002063	0.001032	0.001001	0.003021
	4	0.002086	0.001051	0.001002	0.003772
	5	0.002098	0.001064	0.001002	0.004720
100	1	0.002104	0.00104	0.001021	0.002176
	2	0.002167	0.001081	0.001043	0.002241
	3	0.002202	0.001107	0.001053	0.002451
	4	0.002289	0.001177	0.001094	0.002624
	5	0.002453	0.001308	0.001161	0.003118

الجدول (3-13) متوسط مربعات الخطأ لطرائق التقدير للتجربة السادسة  $\lambda=0.15$

$n$	$K$	$Pr$	$ML$	$Sh$	$KM$
10	1	0.002114	0.001059	0.001041	0.002059
	2	0.002125	0.001067	0.001047	0.002067
	3	0.002146	0.001082	0.001058	0.002082
	4	0.002368	0.001262	0.001185	0.002262
	5	0.002497	0.001372	0.001262	0.002372
20	1	0.002026	0.001026	0.001016	0.002005
	2	0.002053	0.001053	0.001034	0.002021
	3	0.002064	0.001064	0.001040	0.002046
	4	0.002102	0.001102	0.001065	0.002101
	5	0.002231	0.001231	0.001147	0.002106
30	1	0.002014	0.001010	0.001000	0.002204
	2	0.002051	0.001016	0.001000	0.002228
	3	0.002058	0.001038	0.001001	0.002295
	4	0.002101	0.001098	0.001004	0.002436
	5	0.002141	0.001102	0.001004	0.002441
40	1	0.002000	0.001001	0.001000	0.002030
	2	0.002030	0.001011	0.001000	0.002039
	3	0.002040	0.001030	0.001001	0.002070
	4	0.002100	0.001076	0.001002	0.002146
	5	0.002125	0.001081	0.001002	0.002148
50	1	0.002010	0.001000	0.001000	0.002127
	2	0.002014	0.001002	0.001000	0.002147
	3	0.002035	0.001013	0.001000	0.002394
	4	0.002081	0.001032	0.001001	0.002842
	5	0.002125	0.001079	0.001003	0.003697
100	1	0.002073	0.001021	0.001011	0.002085
	2	0.002091	0.001031	0.001016	0.002101
	3	0.002121	0.001046	0.001020	0.002178
	4	0.002222	0.001115	0.001051	0.002358
	5	0.002284	0.001173	0.001084	0.002553

### 3-2-3 مناقشة تجارب المحاكاة:

أولاً: تبين من نتائج المحاكاة المقدمة في الجداول (2-3) و(3-3) و(4-3) و(5-3) و(6-3) و(7-3) الخاصة بتقدير دالة المُعَوَّلِيَّة  $R(k)$  الآتي:

- 1- أن تقديرات دالة المُعَوَّلِيَّة بإستعمال طرائق التقدير المختلفة قد أظهرت متوسطات قريبة الى القيم الحقيقية (الإفتراضية) لهذه الدالة وذلك لكل النماذج وأحجام العينات وعدد الأعطال ( $k$ ) المفترضة.
- 2- نلاحظ كذلك أن متوسطات تقديرات دالة المُعَوَّلِيَّة بطرائق التقدير كافة تقترب أكثر من القيم الحقيقية لهذه الدالة بزيادة حجم العينة عدا طريقة (Kaplan- Meier).

3- أن قيم دالة المُعَوَّلِيَّة الحقيقية والتقديرية قد تناقصت بزيادة عدد الأعطال ( $k$ ) وهذا ما يتطابق مع خصائص هذه الدالة.

ثانياً: تبين من نتائج المحاكاة المقدمة في الجداول (3-8) و(3-9) و(3-10) و(3-11) و(3-12) و(3-13) الخاصة بالمقياس الإحصائي ( $MSE$ ) لتقدير دالة المُعَوَّلِيَّة ما يأتي:

- 1- لكافة نماذج معدل الفشل ولأحجام العينات كافة كانت الأفضلية لطريقة النقلص.
- 2- لأحجام العينات كافة ولنماذج معدل الفشل بصورة عامة أظهرت نتائج المحاكاة بأن تقديرات دالة المُعَوَّلِيَّة بطريقة الإمكان الأعظم هي ثاني اكفاء طريقة إذ حققت أقل متوسط مربعات خطأ.
- 3- جاءت طريقة إحداد بواسون بالمرتبة الثالثة وحلت طريقة ( $Kaplan- Meier$ ) بالمرتبة الأخيرة ولكافة نماذج معدل الفشل إذ حققت أعلى متوسط مربعات خطأ ( $MSE$ ).
- 4- تزداد قيمة متوسط مربعات الخطأ ( $MSE$ ) كلما زاد عدد الأعطال ( $k$ ).
- 5- تتناقص قيم متوسط مربعات الخطأ كلما زاد معدل الفشل ( $\lambda$ ) ولنفس حجم العينة.
- 6- تتناقص قيم ( $MSE$ ) لكل المقدرات بزيادة حجم العينة بإستثناء طريقة ( $Kaplan- Meier$ ) فهي تسلك سلوك معاكس للطرائق الثلاثة الأخرى إذ تزداد قيم ( $MSE$ ) بزيادة حجم العينة.

# الفصل الرابع الجانب التطبيقي

## الجانب التطبيقي

## 1-4 تمهيد Preface

إن تحليل المُعَوَّلِيَّة وتطبيقها من الموضوعات المهمة التي نالت إهتمام الكثيرين من متخذي القرارات في كثير من المجالات العلمية، وأكثر المجالات التي ركَّز الباحثون عليها هو المجال الطبي والمجال الصناعي. ولحساب وتحليل مُعَوَّلِيَّة الماكائن والآلات والتنبؤ بالعطلات أو التوقفات الإضطرارية لهذه الماكائن أثرها الواضح والمهم في العملية الإنتاجية. إذ تبنى المنشأة الصناعية (سواء أكانت كبيرة أم متوسطة) \* قراراتها في صيانة أو إستبدال الماكينة عن طريق معرفة عمر الماكينة الإنتاجي للحصول على أسرع وقت وأفضل أداء.

لقد وقع إختيار الباحثة على دار الوارث للطباعة والنشر إذ ارتأت الأمانة العامة للعتبة الحسينية المقدسة أن تُنشيء داراً متخصصة بشؤون الطباعة والنشر لتتبنى نشر تراث وثقافة وعلوم أهل البيت (ع) فضلاً عن المساهمة في تلبية متطلبات السوق الإسلامي والمحلي من المطبوعات والإصدارات المختلفة وفي المجالات كافة، ويتضمن هذا الفصل تحليل البيانات قيد الدراسة وإختبارها مع فرضية العدم، وبعد ذلك سيتم حساب المُعَوَّلِيَّة لهذه الماكائن عن طريق حساب متوسط الوقت بين فشل وآخر.

\*يصنف الجهاز المركزي للإحصاء التابع لوزارة التخطيط والتعاون الإنمائي المنشآت الصناعية إلى كبيرة ومتوسطة وصغيرة اعتماداً على رأس مال المنشأة وعدد عمالها ولكن في الأعوام الأخيرة وبالتحديد بعد سنة 2003 أصبح التصنيف على أساس قدرة المنشأة على الإنتاج بغض النظر عن عدد العمال.

## 4-2 دار الوارث للطباعة والنشر

أسس مشروع دار الوارث للطباعة والنشر وتمّ إفتتاحه بمرحلته الأولى بتاريخ 2013/6/13 تزامناً مع مولد سيد الشهداء (ع) في الثالث من شعبان. ومنذ يومها الأول كانت سياسة الدار مبنية على ميزة التنافس وإحداث ثورة في عالم الطباعة وهي السياسة التي دفعت إلى تقدمها ونموها بإستمرار وجعلها في مصابح المطابع المتقدمة.

وتتضمن هذه المنشأة العديد من الأقسام الإنتاجية منها:

- الطباعة.
- التصحيف.
- الطباعة الرقمية.

وهناك أقسام أخرى داخل المشروع مكتملة للعملية الإنتاجية وهي:

- قسم الإدارية.
- قسم تقنية المعلومات.
- قسم المتابعة.
- قسم المالية.
- قسم العلاقات العامة.
- قسم الخدمية.
- المخازن.
- صيانة الآلات والمكائن.

### 4-2-1 وصف البيانات

وبعد الإطلاع على مكائن هذه المنشأة والتي تبلغ تسع (9) مكائن فقد تم إختيار عينة بحجم خمس (5) مكائن لدراسة معوليتها ولفترة زمنية محددة وهي (40) شهراً وبالتحديد من (1-9-2013) ولغاية (31-12-2016) كفترة عمل فعلية تم الحصول فيها على عدد مرات العطل أو الفشل والتوقفات خلال



الشهر الواحد بعد إستبعاد الصيانة ولكل ماكنة من هذه المكائن، فضلاً عن أيام العمل لهذه المكائن بين العطلات.

والجدول (1-4) يمثل عدد الأعطال في الشهر الواحد ولكل ماكنة من هذه المكائن خلال فترة زمنية مقدارها (40) شهراً والتي تم جمعها من سجلات المنشأة. ولقد رمزنا لكل ماكنة برمز معين ليكون من السهل التعامل معها وكالاتي:

(A<sub>1</sub>) ماكنة التجليد والتجميع.

(A<sub>2</sub>) ماكنة مقص الورق *WOHLENBERG*.

(A<sub>3</sub>) ماكنة ربع بطّال *GTO (SM 52)*.

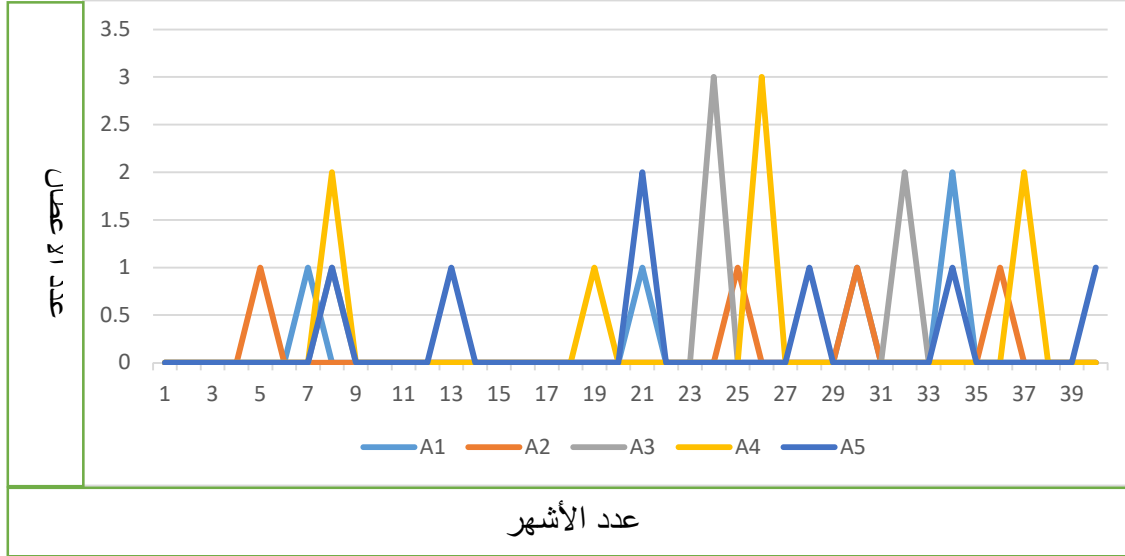
(A<sub>4</sub>) ماكنة الطلاء (U V).

(A<sub>5</sub>) ماكنة التكسير *MBO*.

الجدول (4-1) عدد الأعيال خلال (40) شهراً

<i>TIME</i>	<i>A1</i>	<i>A2</i>	<i>A3</i>	<i>A4</i>	<i>A5</i>
1	0	0	0	0	0
2	0	0	0	0	0
3	0	0	0	0	0
4	0	0	0	0	0
5	0	1	0	0	0
6	0	0	0	0	0
7	1	0	0	0	0
8	0	0	1	2	1
9	0	0	0	0	0
10	0	0	0	0	0
11	0	0	0	0	0
12	0	0	0	0	0
13	0	0	0	0	1
14	0	0	0	0	0
15	0	0	0	0	0
16	0	0	0	0	0
17	0	0	0	0	0
18	0	0	0	0	0
19	0	0	0	1	0
20	0	0	0	0	0
21	1	0	0	0	2
22	0	0	0	0	0
23	0	0	0	0	0
24	0	0	3	0	0
25	0	1	0	0	0
26	0	0	0	3	0
27	0	0	0	0	0
28	0	0	0	0	1
29	0	0	0	0	0
30	1	1	0	0	0
31	0	0	0	0	0
32	0	0	2	0	0
33	0	0	0	0	0
34	2	0	0	0	1
35	0	0	0	0	0
36	0	1	0	0	0
37	0	0	0	2	0
38	0	0	0	0	0
39	0	0	0	0	0
40	0	0	0	0	1

والشكل (1-4) يبين عدد الأعطال خلال (40) شهراً إذ يظهر بوضوح عدم تجاوزها لثلاث عطلات في الشهر الواحد ويعود هذا إلى حداثة هذه المكنان فضلاً عن الصيانة الدائمة لها.



المخطط (1-4) عدد الأعطال خلال (40) شهراً

### 3-4 إختبار تجانس العملية البواسونية للبيانات

#### *Test of Homogenous Poisson Process for Data*

إن إختبار معنوية العملية البواسونية من الأمور الضرورية لإختبار هل أن المشاهدات (عدد العطلات) تعود الى مجتمع العملية البواسونية

وبإستخدام البرنامج الاحصائي *Easy Fit 5.2 Professional* تبين أن هذه البيانات (العطلات)

تتوزع توزيع بواسون. كما في الملحق  $B_1$

وبما أن المعدل الزمني لفشل المكنان والمتمثل بمعلمة التوزيع  $\lambda$  مقترن بالزمن ويتأثر بتغيره فإن إجراء الإختبار فيما إذا كانت العملية البواسونية متجانسة أم لا (أي عدم تغير معدل الفشل مع تغير الزمن) يعتمد على إختبار فرضية العدم التي تنص على أن العملية البواسونية متجانسة أي أن:

$H_0 : \lambda$  Constant HPP (العطلات جميعها لا تعود إلى عمليات بواسون غير المتجانسة)

$H_1 : \lambda$  Not Constant NHPP (جميع العطلات تعود إلى عمليات بواسون غير المتجانسة)

إن فرضية العدم التي سيتم اختبارها تنص على أن جميع العطلات قيد الدراسة تعود إلى العملية البواسونية المتجانسة، أما الفرضية البديلة فقبولها يعني أن العطلات تعود إلى عمليات بواسون غير المتجانسة.

وباستخدام برنامج *(SPSS) Statistical Package for the Social Sciences* وكما مبين في الجدول في الملحق B<sub>2</sub> حيث تظهر قيم مربع كاي (*Chi Square*) المحسوبة ولجميع المكائن إذ تم احتسابها اعتماداً على التكرار المشاهد والتكرار المتوقع وبالتالي فإن:

$$\chi^2 = \frac{\sum_{i=1}^n (O_i - E_i)^2}{E_i}$$

حيث أن:

O التكرار المشاهد.

E التكرار المتوقع.

وبمقارنة قيمة  $\chi^2$  المحسوبة مع قيمة  $\chi^2$  الجدولية للماكنة الأولى والثانية بدرجة حرية (1) و بدرجة حرية (2) للماكنة الثالثة والرابعة وبدرجة حرية (3) للماكنة الخامسة وبمستوى معنوية  $\alpha = 0.05$  ، نجد أن هناك دلالة واضحة بأن قيمة إحصاء الاختبار  $\chi^2$  المحسوبة بالنسبة لجميع المكائن أكبر من القيمة الجدولية مما يدل على أن عطل المكائن يتبع عمليات بواسون غير المتجانسة. وهذا يتماثل مع ما ذكرناه بأن الظواهر التي يكون فيها المعدل الزمني لحدوث الحوادث يتغير بتغير الزمن تعود إلى عمليات بواسون غير المتجانسة.

وعن طريق المقارنة لطرائق التقدير التي تمت في الفصل التجريبي السابق، تُعد طريقة التقلص وحسب تجارب المحاكاة التي تم إجرائها في هذه الرسالة هي من أفضل الطرائق في حالة توفر معلومات أولية (معلومات مسبقة)، ولكون دار الوارث للطباعة والنشر من المنشآت الحديثة لذا يتعذر أو من المحال الحصول على معلومات أولية.

أما في الجانب التطبيقي نقوم بحساب المُعَوَّلِيَّة بطريقة الإمكان الأعظم التي هي الأقرب من نتائج طريقة التقلص.

وعند مراجعة البيانات لفترة (40) شهراً تبين أن معدل الفشل للمكائن خلال هذه الفترة يتراوح بين 0.1 و0.2 والجدول (2-4) يبين معدل الفشل ( $\lambda$ ) للمكائن خلال هذه الفترة وحسب المعادلة (2-84). وكذلك نتائج تقدير دالة المُعَوَّلِيَّة حسب طريقة الإمكان الأعظم وللمكائن الخمسة وحسب المعادلة (2-87).

الجدول (2-4) تقدير دالة المُعَوَّلِيَّة حسب طريقة الإمكان الأعظم لمكائن دار الوارث للطباعة والنشر لمدة أربعين شهراً

Machine	$A_1$	$A_2$	$A_3$	$A_4$	$A_5$
$\lambda$	0.125	0.1	0.15	0.2	0.175
$\hat{R}_{ML}$	0.875348	0.908422	0.848796	0.95762	0.970364

وكما ذكرنا أيضاً يمكن حساب المُعَوَّلِيَّة عن طريق متوسط الفشل للمكائن، ولحسابها من الضروري توفر أوقات للفشل. والجدول (3-4) يبين عمر الماكينة عند حدوث الفشل (العطل) في اليوم والتي تم جمعها من سجلات المنشأة.

الجدول (3-4) يبين عمر الماكينة عند حدوث الفشل

Failure Number	Age of system				
	$A_1$	$A_2$	$A_3$	$A_4$	$A_5$
1	223	158	249	245	248
2	642	765	725	260	395
3	916	921	732	578	634
4	964	1086	745	787	652
5	1025		963	795	850
6			978	800	1026
7				1118	1212
8				1129	

وعليه تكون قيمة متوسط العمل بين العطلات (قيمة متوسط الوقت بين الفشل للمكائن) كما في الجدول (4-4) والتي تم احتسابها عن طريق احتساب المعدل لأيام العمل بين الاعطال:

الجدول (4-4) متوسط الوقت التراكمي بين فشل وآخر

Failure Number	Cumulative MTBF				
	$A_1$	$A_2$	$A_3$	$A_4$	$A_5$
1	223	158	249	245	248
2	321	382.5	362.5	130	197.5
3	305.33	307	244	192.66	211.33
4	241	271.5	186.25	196.75	163
5	205		192.6	159	170
6			163	133.33	171
7				159.71	173.14
8				141.125	

ومن الجدول (4-4) نلاحظ تزايد قيمة متوسط الزمن بين فشل وآخر عندما تكون العطلات متتابعة أي عندما تكون الفترة بين حدوث الحادثة والأخرى قريبة.

كذلك تكون قيمة متوسط الوقت بين فشل وآخر والتي يمكن عن طريقها الحصول على معدل الفشل في الأيام كما في المعادلة (2-18) ومنها يمكن الحصول على معدل الفشل لأربعين شهراً ومنها الوصول الى دالة المَعْوَلِيَّة حسب المعادلة (55-2) وكما هو مبين في الجدول (4-5):

الجدول (4-5) متوسط الوقت بين فشل وآخر وقيمة المُقَدَّر ودالة المَعْوَلِيَّة للمكائن

Machine	$A_1$	$A_2$	$A_3$	$A_4$	$A_5$
MTBF	200.5	309.33	145.8	126.29	160.67
$\lambda$	0.0049	0.0032	0.0069	0.0079	0.0062
$\lambda$	0.149	0.097	0.206	0.238	0.187
$\hat{R}(t)$	0.9373	0.8991	0.9637	0.9852	0.9793

أما بالنسبة لمتوسط الوقت لحدوث الفشل فهو وحسب المعادلة (2-19) :

$$MTTF = 224.6 \text{ day}$$

أي ان متوسط الفشل للمكائن يبلغ 225 يوم أي مايقارب السبعة أشهر ونصف الشهر من الأربعين شهر.

# الإستنتاجات والتوصيات

### الإستنتاجات والتوصيات

عن طريق ما تم بحثه في الجانبين النظري والعملي (التجريبي والتطبيقي) فقد توصلت الباحثة إلى مجموعة من الإستنتاجات والتوصيات.

#### أولاً: الإستنتاجات: *Conclusions*

1- أظهرت نتائج المحاكاة بأ □ طريقة التقلص (*Shrinkage method*) هي أفضل طريقة وكانت أكثر تقارب من القيم الحقيقية لدالة المُعَوَّلِيَّة لأنها حققت أقل (*MSE*) لجميع أحجام العينات وكفاءة نماذج معدل الفشل.

2- □ طريقة الإمكان □ الأظم (*Maximum Likelihood method*) ثاني أكفء طريقة لجميع أحجام العينات المستخدمة وكفاءة النماذج وذلك لأنها حققت أقل (*MSE*) في تقدير دالة المُعَوَّلِيَّة بعد طريقة التقلص.

3- □ طريقة إنحدار بواسون □ (*Poisson regression*) ثالث أكفء طريقة في تقدير دالة المُعَوَّلِيَّة لتوزيع بواسون □ في حين حُلَّت طريقة كابلن - مير (*Kaplan-Meier*) بالمرتبة الأخيرة.

4- عن طريق التجربة التطبيقية أظهرت النتائج إرتفاع مُعَوَّلِيَّة المكنن ماعدا الماكنة الرابعة التي أظهرت بياناتها إنخفاض مُعَوَّلِيَّتِها وبالطريقتين (طريقة الإمكان □ الأظم وطريقة القياس).

5- أظهرت النتائج □ الفترة الزمنية المتوقعة لحدوث أول فشل تزيد على السبعة أشهر وهذا مؤشر على □ المكنن جيدة وهذا ما أثبتته مُعَوَّلِيَّتِها العالية.

#### ثانياً: التوصيات *Recommendations*

إعتماداً على الإستنتاجات المذكورة آنفاً يمكن وضع بعض المقترحات أو التوصيات من قبل الباحثة وكما يأتي:

- 1- إستخدام طريقة التقلص في تقدير مُعَوَّلِيَّة المكنن عند توفر معلومات أولية عن معلمة التقدير.
- 2- الإستمرار بصيانة المكنن عن طريق وضع جدول زمني للصيانة المبرمجة وذلك لزيادة مُعَوَّلِيَّة المكنن.
- 3- ضرورة □ تكو □ المنشأة مهيأة لكل صيانة مفاجأة (غير محسوبة) وذلك لتقليل مدة توقف الماكنة (المكنن) عن العمل ومن ثمَّ إنخفاض مُعَوَّلِيَّة هذه المكنن.



4- ينبغي عدم تحميل المكائن أكثر من الطاقة التصميمية أو المتاحة للإنتاج لتبقى مُعَوَّلِيَّتْهَا عالية وضرورة أ□ تكو□ المواد الداخلة في عملية التصنيع والإنتاج جيدة ومن مناشيء رصينة وذلك حفاظاً على عمر الماكنة الإفتراضي.

5- دراسة وتحليل دالة المُعَوَّلِيَّة لتوزيعات مختلطة (*Mixture distributions*) ك□ تكو□ خليط من توزيعات مستمرة مع توزيعات متقطعة في □ واحد للحصول على معلومات جديدة تخص المُعَوَّلِيَّة.

6- إستخدام الطرائق البيزية من خلال تطبيق المعلومات السابقة واللاحقة في تقدير دالة المُعَوَّلِيَّة لتوزيع بواسون□ والعمل عليها.

# المصادر

## المصادر references

## Arabic references

## المصادر العربية

1. إبراهيم، مصطفى والزيات، أحمد وعبد القادر، حامد والنجار، محمد "المعجم الوسيط"، مطبعة المكتبة الإسلامية، دار الدعوة، القاهرة 1972.
2. البياتي، حسام نجم عبود "مقارنة طرائق تقدير أنموذج ويبيل للفشل باستخدام المحاكاة"، اطروحة دكتوراه، كلية الإدارة والاقتصاد - جامعة بغداد 2002.
3. الجميلي، صبا صباح احمد "مقارنة بعض طرائق تقدير المعلمة والمعلمية لأنموذج ريلي للفشل لبيانات تامة وبيانات تحت المراقبة من النوع الاول باستخدام المحاكاة"، رسالة ماجستير، كلية الادارة والاقتصاد - جامعة بغداد 2007.
4. العاني، مي تحسين عبد الحليم "مقارنة بين طرائق تقدير المعلمية في آلة الإجهاد والمتانة لأنموذجي باريتو وويبل"، رسالة ماجستير، كلية الإدارة والاقتصاد - جامعة بغداد 2007.
5. العبيدي، عدي عبد الرحمن "خوارزمية وزن وشبكات صفوف الانتظار المغلقة مع التطبيق على نظام صيانة السيارات في شركة توزيع المنتجات النفطية بالموصل"، رسالة ماجستير، كلية علوم الحاسبات والرياضيات - جامعة الموصل 2000.
6. الياسري، تهاني مهدي عباس وحמיד، سميرة مزهر ونايف، قتيبة نبيل "مقارنات مقدرات بيز مع مقدر الامكان الاعظم في تقدير دالة البقاء للتوزيع الطبيعي اللوغاريتمي باستخدام بيانات مراقبة من النوع الثاني"، مجلة جامعة النهريين، العدد 11، 2008.
7. ليل، طالب شريف وإبراهيم، كوردستان وعبدالله، زينب "ايجاد معولية نظام التوالي بطريقة جديدة"، المجلة العراقية للعلوم الإحصائية، العدد 23، 2013.
8. شاهر، ثائر فيصل "طرائق تقدير عدد مرات الفشل في الانظمة القابلة للإصلاح"، اطروحة دكتوراه، كلية الادارة والاقتصاد - جامعة بغداد 2005.
9. شريم، ماجد هبة الله "دراسة مقارنة لطرق التقدير الحصينة لدالة البقاء مع تطبيق عملي على مرضى سرطان الدم في اليمن"، اطروحة دكتوراه، كلية الادارة والاقتصاد - جامعة بغداد 2005.
10. صالح، ستار محمد "مقارنة اسلوب بيز مع طرائق اخرى لتقدير دالة المعلمية لتوزيع باريتو من النوع الاول"، رسالة ماجستير، كلية الادارة والاقتصاد - جامعة بغداد 2006.

11. عبد علي، سوسن صبيح وفندي، صالح □ عفر وعبد مطلق، ستار " قياس معولية الفرن الدوار في معمل سممت كبيسة "، مجلة الهندسة والتكنولوجيا، الجامعة التكنولوجية - بغداد، المجلد 27 العدد 11، 2009.
12. عويد، غزوان رفيق " مقارنة مقدرات بيز لمعلمة ودالتي المعولية ومعدل الفشل لتوزيع رالي باستعمال دوال خسارة متزنة وغير متزنة "، رسالة ماجستير، كلية الادارة والاقتصاد - الجامعة المستنصرية 2012.

### Foreign references

### المصادر الاجنبية

13. Adam, M & Zhao, W. "**Modeling and analysis of Repairable system with General Repair**" Alexandria, Virginia, USA, 2005.
14. Adil, H. K & Jan, T. R. "**Reliability Estimates of Generalized Poisson Distribution and Generalized Geometric Series Distribution**". India, 2014.
15. A. Joseph, G. "**Poisson Regression**". Washington, USA, 2011.
16. Alicja, J.R & Ryszard, M. "**Selected Stochastic Models in Reliability**". Wroclaw, Poland, 2011.
17. Al -Zahrani, B & Sagor, H. "**The Poisson – Lomax Distribution**". king Abdulaziz university, Jeddah, 2014.
18. Bernard H. "**Hypothesis Testing and Confidence Intervals for Products and Quotients of Poisson Parameters with Application to Reliability**". Journal of the American Statistical Association (JASA), 1971.
19. Bjarte, R. "**Exact Statistical Inference in Nonhomogeneous Poisson processes, based on Simulation**". Norwegian university of science and technology, 2007.
- 20- David, J. S. "**Reliability Engineering**" W.A. Gambling
- 21- Elisa T. L. "**Statistical Method for Survival Data Analysis**". 3rd ed., A Wiley-Interscience publication, 2003.

22. Elsayed, E.A. "**Fundamentals of Reliability Engineering and Application**" *Quality Control & Reliability Engineering (QCRE)*. Rutgers University, 2012.
23. Frederick, S. H & Gerald, J. L. "**Introduction to Operations Research**". 8th ed, 2004.
24. Garson, D. "**Reliability Analysis**". <http://www2.chass.ncsu.edu/garson/lpa765/lreliability.htm>, 1998.
25. German, R. "**Non-Parametric Estimation in Survival Models**", 2005.
26. Hans, G. M & Jane, L. W "**Density and Failure Rate estimation with Application to Reliability**". California USA, 2007.
27. Harry, G. K. "**Engineering Reliability Failure models**". Drexel university-USA, 2012.
28. Hoang, P. "**Reliability and Safety Engineering**". 2nd ed. Springer Series in Reliability Engineering, Piscataway-USA, 2016.
29. Horst, R. "**The Hazard Rate, Theory and Inference**", With supplementary MATLAB Programs. Justus Liebig University, Germany, 2014.
30. Jayant V. D & Sudha, G. P. "**Life Time Data: Statistical Models and Methods**". University of Pune, India, 2009.
31. Kalbfleisch, J. D., and Prentice, R. L., "**The Statistical Analysis of Failure Time Data**", New York John Wiley & Sons, Inc, 1980.
32. Kumar, M & Singh, S. K & Singh, U. "**Reliability Estimation for Poisson – Exponential Model Under Progressive Type Censoring Data with Binomial Removal Data** ", India, 2016.

33. Lawless, J. F. *"Statistical Models and Methods for Lifetime Data"*, 2nd ed., University of Waterloo, New Jersey, John Wiley & Sons, Inc, 2003.
34. Lina, B. *"Reliability Centred Maintenance for Electric Power Distribution Systems"*. Stockholm, Sweden, 2002.
35. Marvin, R. *"System Reliability Theory, Models, Statistical Methods, and Applications"*. Second edition, Walter, Shewhart & Samuel S. Wilks, Norwegian University of Science and Technology, Norway, 2004.
36. Mike, S. M. *"Design for Reliability"*. [www.opsalacarte.com](http://www.opsalacarte.com).
37. Miller R.H. *"Reliability of system comprised of k elements"*. Journal of the American Statistical Association (JASA) 1994.
38. Patrick, Z. *"Maximum Likelihood & Method of Moments Estimation"*. University of California, 2014.
39. Peter, H. *"Shrinkage estimators"* 2013.
40. Rasheed, D. H. & Wakil, A. A. *"Introduction to Mathematical Statistics"*, College of Management and Economics, Baghdad University.
41. Rene, V. *"Compact Reliability and Maintenance Modeling of Complex Repairable Systems"* 2014.
42. Roy, B & Ranald, N. A. *"Reliability Evaluation of Engineering System " concepts and techniques. 2nd ed. - New York and London 2012.*
43. Tiejun, T & Yuedong, W. *"Optimal Shrinkage Estimation of Variances with Applications to Microarray Data Analysis"* 2005.

44. *Todinov, M.T "Reliability and Risk Models ". Setting Reliability Requirements. Cranfield, A John Wiley & Sons Ltd, Cranfield University, UK, 2005*
45. *Young, D.H & Al-Saadi S.D. "Statistical Theory and Methods", 1983.*
46. *"MTBF, MTTR, MTTF & FIT Explanation of Term", [http:// WWW.imcnetworks.com](http://WWW.imcnetworks.com), CANADA.*
47. *"Reliability Engineering", <https://en.wikipedia.org/wiki>.*
48. *[https://en.wikipedia.org/wiki / "Poisson distribution"](https://en.wikipedia.org/wiki/Poisson_distribution).*
49. *START, "Application of the Poisson Distribution" Selected Topics in Assurance Related Technologies, USA, 2002.*
50. *"System Reliability Engineering", [WWW.Springer.com/cda/content](http://WWW.Springer.com/cda/content).*

الملاحق



**MLE CODES**

```
> library (STAT)
> library (STAT4)
> library (MASS)
> data< - rpois (n, lambda)
> reps <- B=B
> npois <- n=n
> rate <- lambda
> set.seed ( )
> R . Real (R <- ( sum(rpois(n=npois , rate= lambda))))
> R . Est (x <- replicate(reps , sum(Data (n=npois , rate= lambda))))
> X1<- Mean (length(x))

>R1 <- length( R)

> mse <- mse length( X1 , R1 )
```

**POISSON REG. CODES**

```

> library(corpcor)

> reps <- B=B
> rate <- lambda
> set.seed ( )
> W <- matrix p = p, n = n
> W = matrix(rpois(n* lambda), nrow = n, ncol = p) lambda = " ")
> p <- within ( p , { prog <- factor( prog , levels=1: k , labels= c ( " X1" ) )
> id <- factor ( id )})
> Y<- ( m1 <- glm ( num_awards ~ prog + X3="poisson", data=p ))
> Y1<- par ( Y )
> W1<- { if (family=="poisson"){ mu <- as.numeric(exp(alpha)) beta <- 1/mu w<-
sqrt(mu) } z <- (alpha+(y-mu)*beta) k1 <- rep(0,ncol(Y1)) k2 <- rep(1,ncol(Y1)) k
<- c(k1,k2) A <- diag(k) X <-cbind(X3,X4)*w Z <- z*w beta<-
solve(t(X)%*%X+2*lambda*A)%*%t(X)%*%Z beta1 <- beta[1:ncol(X3)] beta "
" <- beta[(ncol(X3)+1):(ncol(X3d <- max(abs(beta" " - beta" " ),abs(beta " " -
beta " ")) <- as.numeric(beta " ") alpha <- X3%*%beta " " }
> R . Real ( R3 <- ( sum ( rpois ( n=npois , rate= lambda ) ) ) )
> R . Est ( Y1 <- replicate ( reps , sum ( rpois ( n=npois , rate= lambda ) ) ) )
> W2 <- Mean ( length ( W1 ) )
> R4 <- length( R3)

> mse <- mse length ( W2 , R4 )

```

---

**KAPLIN CODES**

```
library(survival)
```

```
library(KMsurv)
```

```
library(nlme)
```

```
> D <- read.csv( file.choose( ), header=T )
```

```
> reps <- B=B
```

```
> npois <- n=n
```

```
> rate <- lambda
```

```
> set.seed ( )
```

```
> km <- (survfit(SurvObj ~ 1, data =D , conf .type = "log-log") km<-survest<-  
stepfun(km$num,c(1,km$urv) )
```

```
> num5m<-floor(num/5)
```

```
> tall<-data.frame(num5m)
```

```
> die<-gsummary(tall, sum, groups= num5m)
```

```
> total<-gsummary(tall, length, groups= num5m)
```

```
> rm(num5m)
```

```
> ltab.data<-cbind(die[,1:2], total[,2])
```

```
> detach(hmohiv)
```

```
> attach(ltab.data)
```

```
> lt=length(num5m)
```

```
> num5m[1k+1]=NA
```

```
> nevent=data
```

```
> nlost=total[,2] - data
```

```
> mytable<-tab(num5m, n, nlost, nevent)
```

```
> Y5<-mytable[,1:n]
```

```
> R . Real ( R5 <- ( sum ( rpois ( n=npois , rate= lambda ))) )  
> R . Est ( Y5 <- replicate ( reps , sum ( rpois ( n=npois , rate= lambda ))) )  
> Y6<-Mean(length( Y5 ))  
> R6 <- length( R5)  
  
> mse <- mse length ( Y6 , R6 )
```

**SHRINKAGE CODES**

```
> N=n
```

```
> B=" "
```

```
> Lambda=" "
```

```
> Theata=" "
```

```
> R7 <- read.csv( file.choose( ), header=T )
```

```
> For ( i=1 in 1:n){k="1"
```

```
G=( theata(length(R1)+(1- theata)(length(R7))
```

```
F=G
```

```
Q[i]=0
```

```
While (k< k){ if Q[i] < F
```

```
R9=" "
```

```
Else {
```

```
Q[i] = Q[i] +1
```

```
G=g*g=( theata(length(R1)+(1- theata)(length(R8))
```

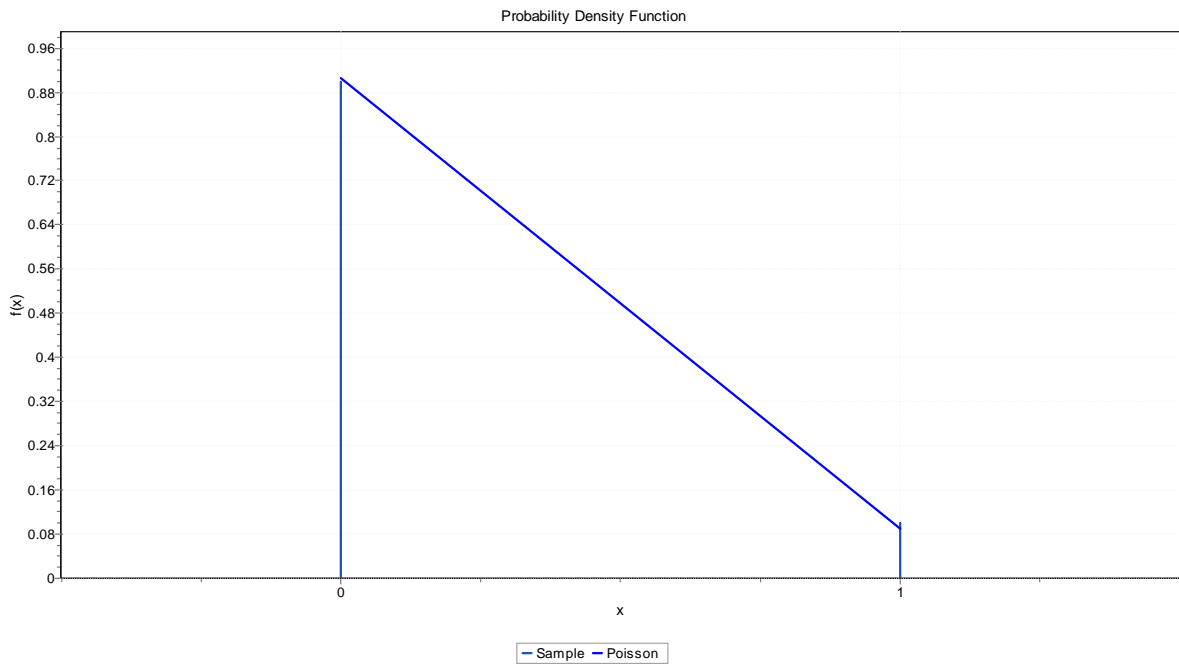
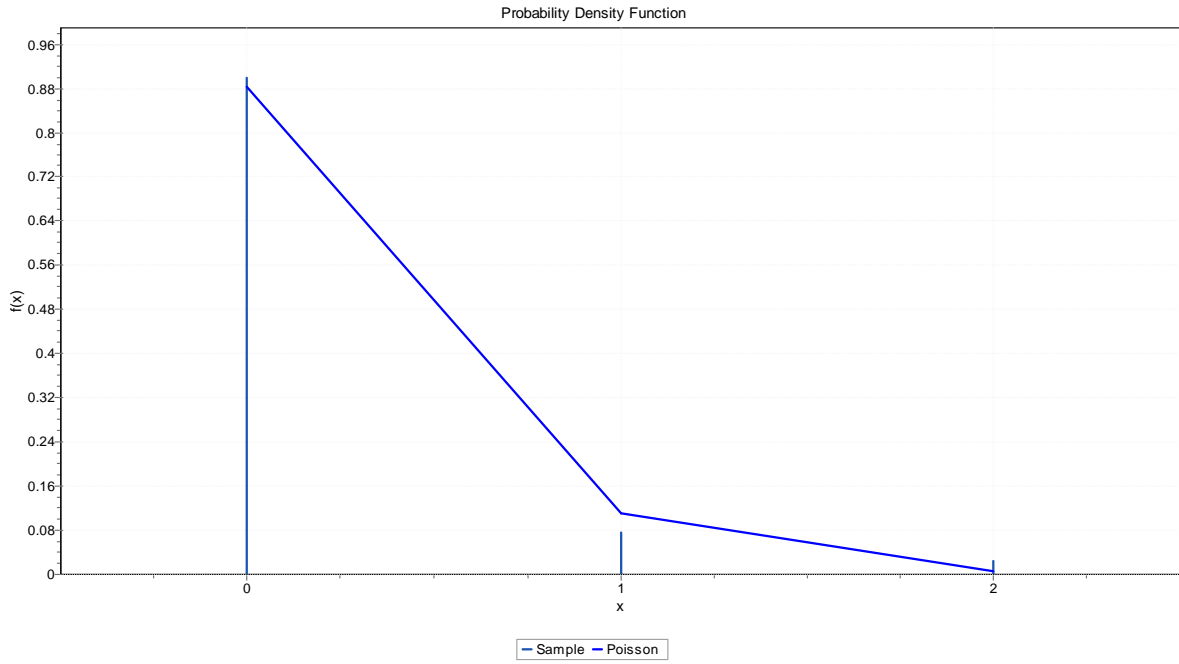
```
F1=F+G }
```

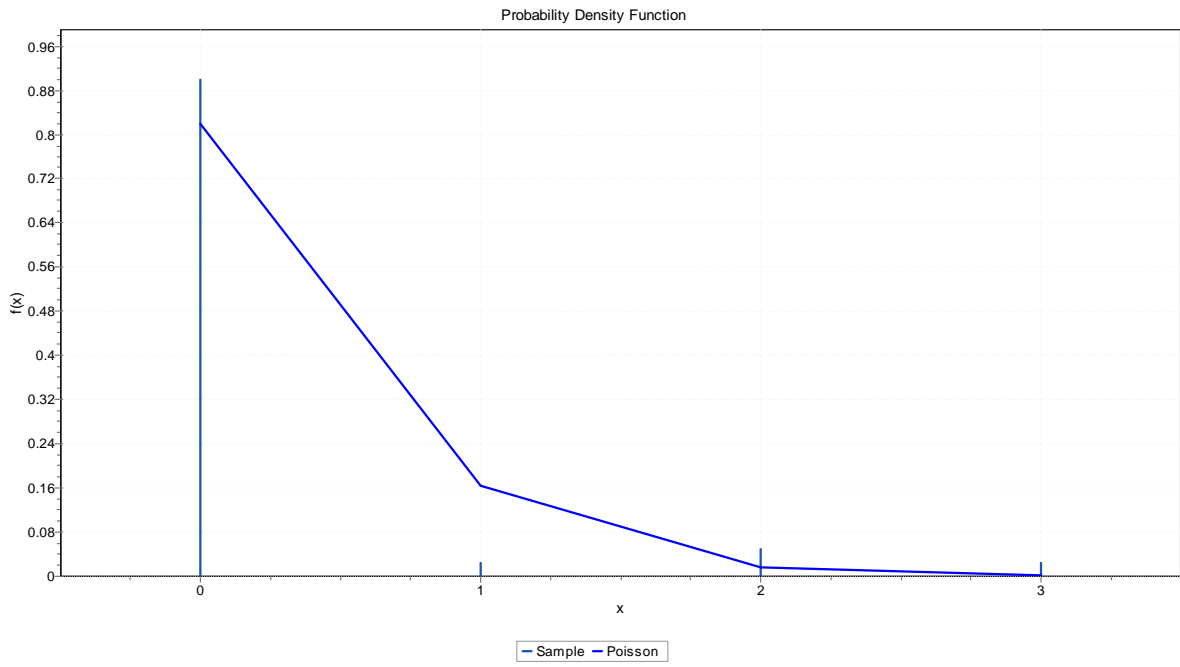
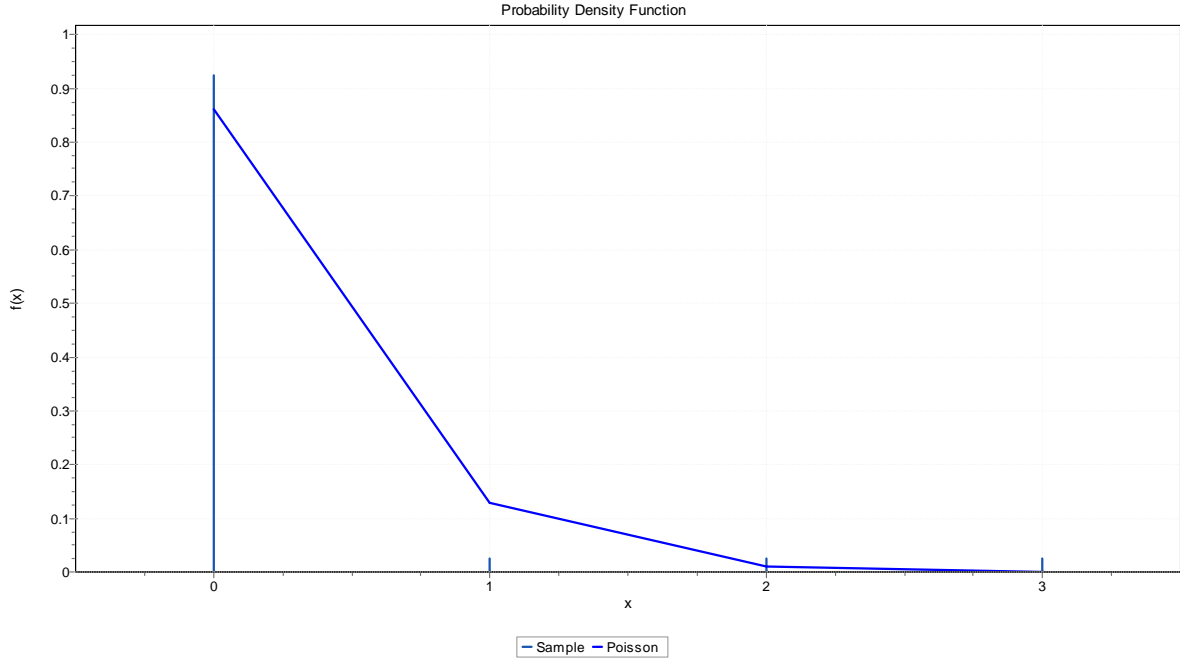
```
> Print (R9)
```

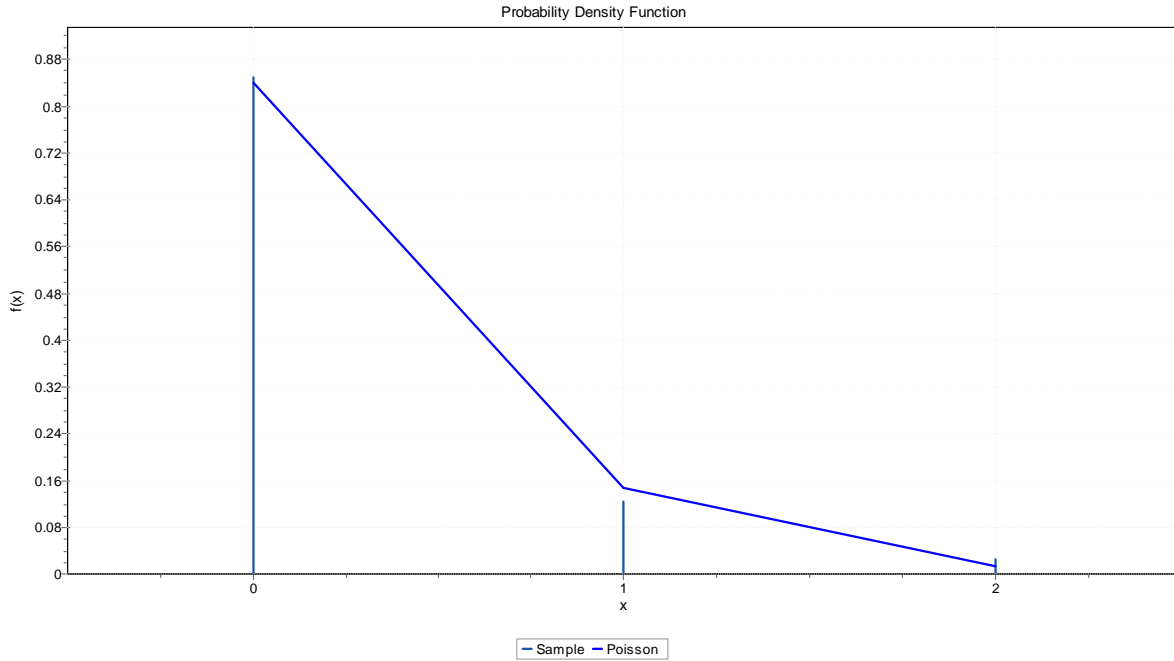
```
> R . Real ( R11 <- ( sum ( rpois ( n=npois , rate= lambda )))
```

```
> R10<-Mean(length( R9 ))
```

```
> mse <- mse length ( R10 , R11 )
```







B<sub>2</sub> الملحق

### Chi-Square Test

A1

	Observed N	Expected N	Residual
.00	35	20.0	15.0
1.00	5	20.0	-15.0
Total	40		

A2

	Observed N	Expected N	Residual
.00	36	20.0	16.0
1.00	4	20.0	-16.0
Total	40		



**A3**

	Observed N	Expected N	Residual
.00	37	10.0	27.0
1.00	1	10.0	-9.0
2.00	1	10.0	-9.0
3.00	1	10.0	-9.0
Total	40		

**A4**

	Observed N	Expected N	Residual
.00	36	10.0	26.0
1.00	1	10.0	-9.0
2.00	2	10.0	-8.0
3.00	1	10.0	-9.0
Total	40		

**A5**

	Observed N	Expected N	Residual
.00	34	13.3	20.7
1.00	5	13.3	-8.3
2.00	1	13.3	-12.3
Total	40		

**Test Statistics**

	A1	A2	A3	A4	A5
Chi-Square	22.500 <sup>a</sup>	25.600 <sup>a</sup>	97.200 <sup>b</sup>	90.200 <sup>b</sup>	48.650 <sup>c</sup>
df	1	1	3	3	2
Asymp. Sig.	.000	.000	.000	.000	.000

a. 0 cells (0.0%) have expected frequencies less than 5. The minimum expected cell frequency is 20.0.

b. 0 cells (0.0%) have expected frequencies less than 5. The minimum expected cell frequency is 10.0.

c. 0 cells (0.0%) have expected frequencies less than 5. The minimum expected cell frequency is 13.3.



## ***Abstract***

*The technological development and the use of complex electronic systems in various fields led many researchers to study the Reliability. Therefore, the study of the Reliability and linkage between the theoretical and practical aspects is of great importance because it is the indicator to show the efficiency and ability of the machine to work without breaks for a period of time Long for the purpose of increasing production of both quality and quantity.*

*Since the number of failures is subject to the distribution of Poisson, the study focused more on the study of the Poisson processes by two types the homogeneous(HPP) and non-homogeneous (NHPP), and the absence of a general trend in the number of failures vs. time  $t$  It was appropriate to analyze data using the Poisson regression.*

*This study was concerned with estimating the reliability function in the case of data distributed of Poisson distribution in comparison to three methods of estimation methods, namely the Poisson regression method as a regression method, and the Maximum Likelihood method as a traditional method, and Kaplan-Meier method as a method of nonparametric.*

*For the purpose of applying the theoretical dimensions of the estimation methods, the Monte Carlo method was used using a programming language R (version 3.3.2), and several experiments were carried out by producing a random sample with a Poisson distribution based on sample sizes equal to ( $n = 10, 20, 30, 40, 50, 100$ ). The replicates for each experiment were  $L = 5000$ .*

*The estimation methods were compared by using Mean Squares Error and were reached with generally concluded that the maximum Likelihood estimator was the best of these estimates because it had the lowest mean error squares compared to other capabilities, it means, the reliability estimation of the data distributed by the Poisson distribution the maximum Likelihood method is best for all sample sizes, followed directly by the Poisson regression method and for all sample sizes.*

*As for the practical side has made Chi Square test was first on available data that represent the number of failures of some of the machines in Dar Al- Warith for printing and publishing in the holy city of Karbala using a statistical program (Easy fit) shows that the number of failures are distributed (Poisson distribution), and they trace non homogenous poison processes, and because the Maximum Likelihood for the reliability function is the best of these capabilities after an estimated contraction according to a pilot aspect in this research has been the estimated these machines account under study for the purpose of identifying efficiency and behavior with time, as a function account reliability way to measure based on the Mean Time Between Failures (MTBF).*

*Ministry of Higher Education  
and Scientific Research  
University of Karbala  
College of Economics and Administration  
Department of Statistics*



# **Estimation of reliability function for Poisson distribution With practical application**

*A Thesis Submitted to  
Council of the college of Administration and Economics at  
the University of Karbala  
It is part of the requirements for obtaining a master's degree  
in statistics*

*By  
Zainab M. B. al – Baker*

*Supervised By  
Prof. Dr.  
Abdul Hussain H. H. al-Tai*

*1438 Ah*

*2017 Ad*